

# Aspects de la connexité avec contraintes de matroïdes

Quentin Fortier

Directeur de thèse: Zoltán Szigeti

27 octobre 2017, G-SCOP (Grenoble)

## Définition

Un **graphe** est un couple  $G = (V, E)$ , où :

- 1  $V$  est un ensemble de **sommets**.
- 2  $E$  est un multi-ensemble d'**arêtes**, chaque arête étant un ensemble de 2 sommets.

## Définition

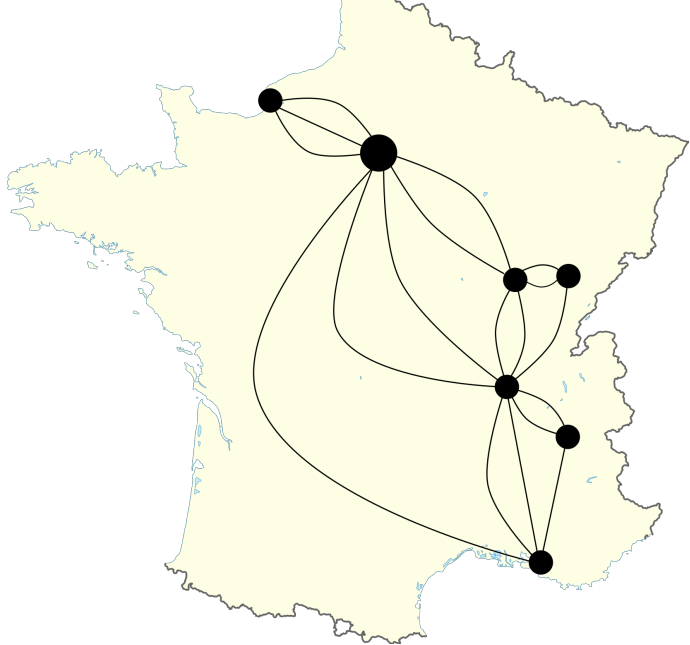
Un **graphe** est un couple  $G = (V, E)$ , où :

- 1  $V$  est un ensemble de **sommets**.
- 2  $E$  est un multi-ensemble d'**arêtes**, chaque arête étant un ensemble de 2 sommets.

## Définition

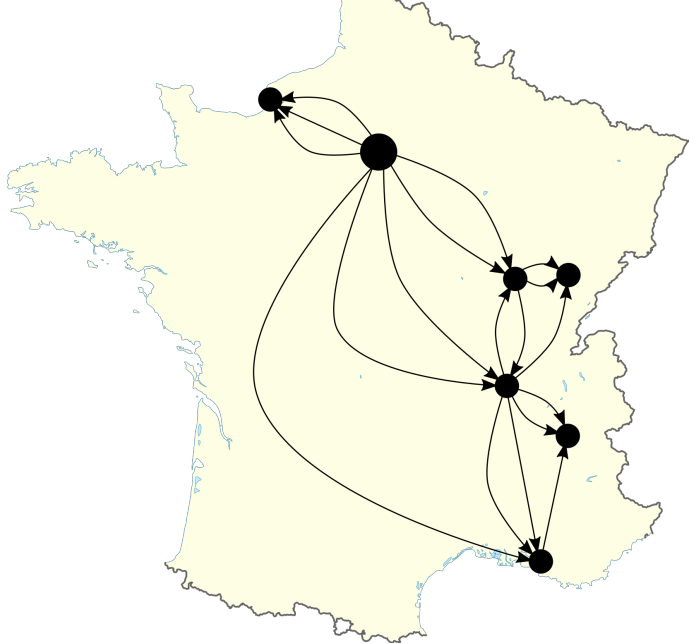
Un **graphe orienté** est un couple  $\vec{G} = (V, \vec{E})$ , où :

- 1  $V$  est un ensemble de **sommets**.
- 2  $\vec{E}$  est un multi-ensemble d'**arcs**, chaque arc étant un couple de 2 sommets.



Sommets = villes.

Arêtes = autoroutes, trains, avions.



Une orientation possible.

## Définition

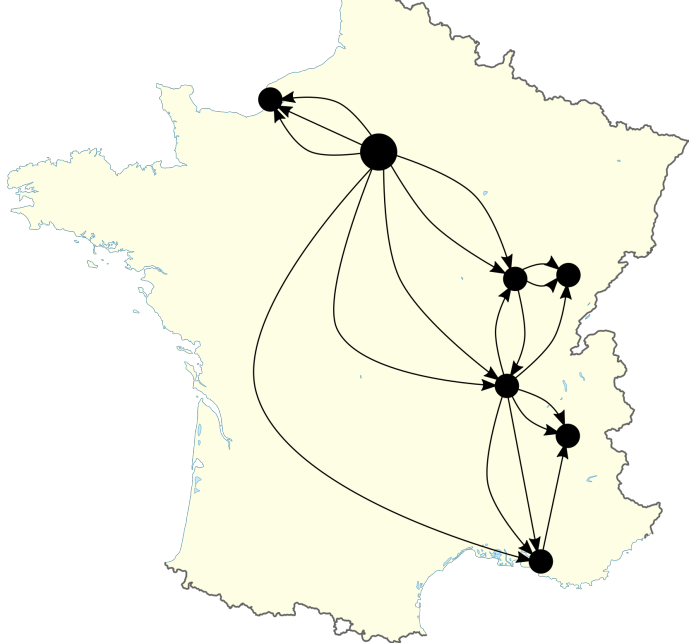
$\vec{G}$  est  **$k$ -arc-connexe depuis  $r$**  s'il existe  $k$  chemins arc-disjoints de  $r$  vers n'importe quel sommet de  $\vec{G}$ .

## Définition

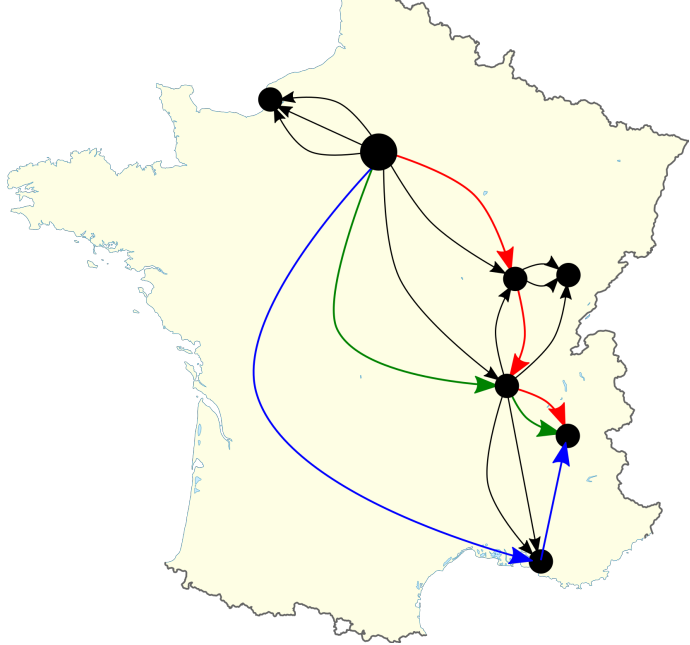
$\vec{G}$  est  **$k$ -arc-connexe depuis  $r$**  s'il existe  $k$  chemins arc-disjoints de  $r$  vers n'importe quel sommet de  $\vec{G}$ .

## Définition

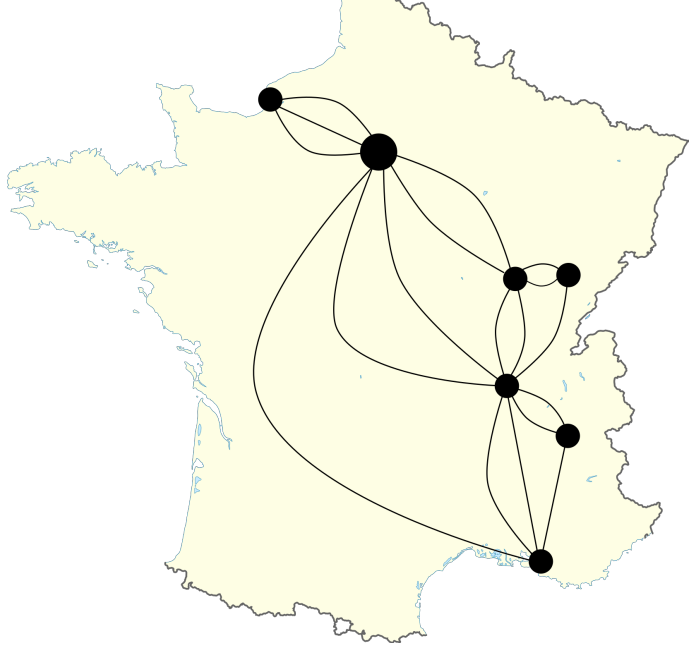
$G$  est  **$k$ -partition-connexe** s'il possède une orientation  $\vec{G}$  qui est  $k$ -arc-connexe depuis un certain sommet.



Graphe orienté 3-arc-connexe depuis Paris.



Exemple : il y a 3 chemins arcs-disjoints de Paris vers Grenoble.



Graphe 3-partition-connexe.

## Définition

Un **arbre**  $T$  est un graphe ayant un unique chemin entre deux sommets quelconques.

## Définition

Un **arbre**  $T$  est un graphe ayant un unique chemin entre deux sommets quelconques.

## Définition

Une  **$r$ -arborescence**  $\vec{T}$  est un graphe orienté ayant un unique chemin de  $r$  à un sommet quelconque.

Tout arbre peut être orienté en une  $r$ -arborescence.

## Définition

Si un arbre (ou arborescence) est inclus dans un graphe  $G$ , on dit qu'il est **couvrant** s'il contient tous les sommets de  $G$ .

## Définition

Si un arbre (ou arborescence) est inclus dans un graphe  $G$ , on dit qu'il est **couvrant** s'il contient tous les sommets de  $G$ .

En utilisant un parcours de graphe depuis  $r$  :

## Lemme

$\vec{G}$  est 1-arc-connexe depuis  $r$ .



$\vec{G}$  contient une  $r$ -arborescence couvrante.

Edmonds a généralisé cette observation :

## Théorème d'Edmonds (1973)

$\vec{G}$  est  $k$ -arc-connexe depuis  $r$ .



$\vec{G}$  contient  $k$   $r$ -arborescences couvrantes arc-disjointes  
(un **packing** de  $k$  arborescences couvrantes).

Edmonds a généralisé cette observation :

## Théorème d'Edmonds (1973)

$\vec{G}$  est  $k$ -arc-connexe depuis  $r$ .

$\iff$

$\vec{G}$  contient  $k$   $r$ -arborescences couvrantes arc-disjointes  
(un **packing** de  $k$  arborescences couvrantes).

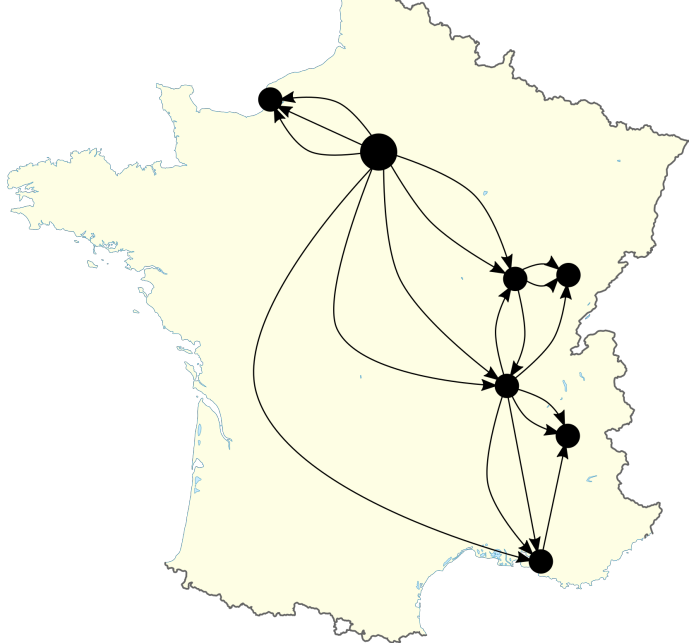
Ce qui implique :

## Théorème de Tutte (1961)

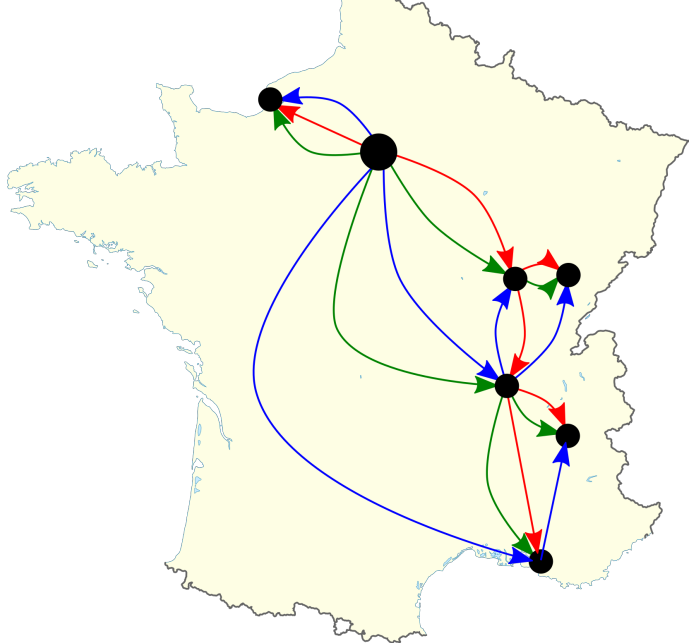
$G$  est  $k$ -partition-connexe.

$\iff$

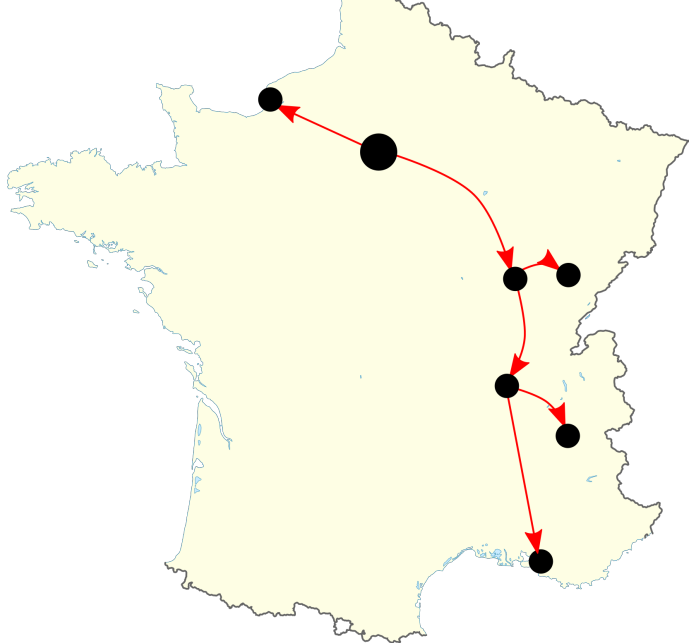
$G$  contient  $k$  arbres couvrants arête-disjointes  
(un **packing** de  $k$  arbres couvrants).



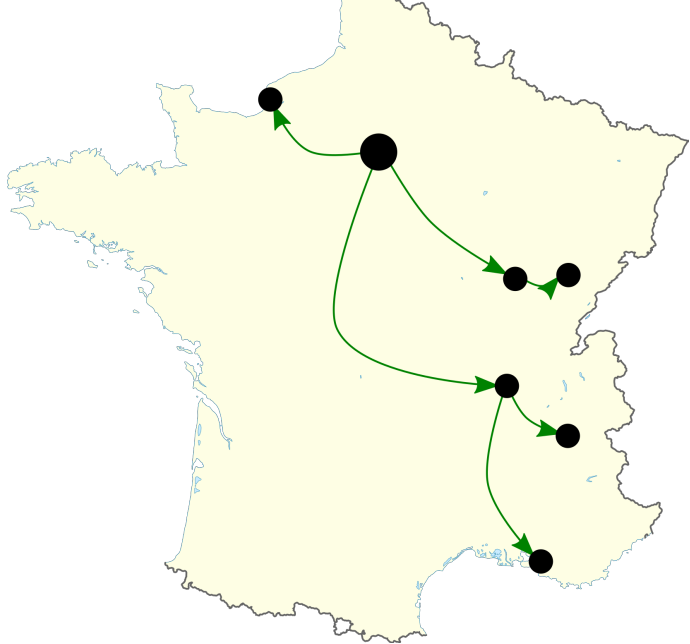
$\vec{G}$  est 3-arc-connexe depuis Paris.



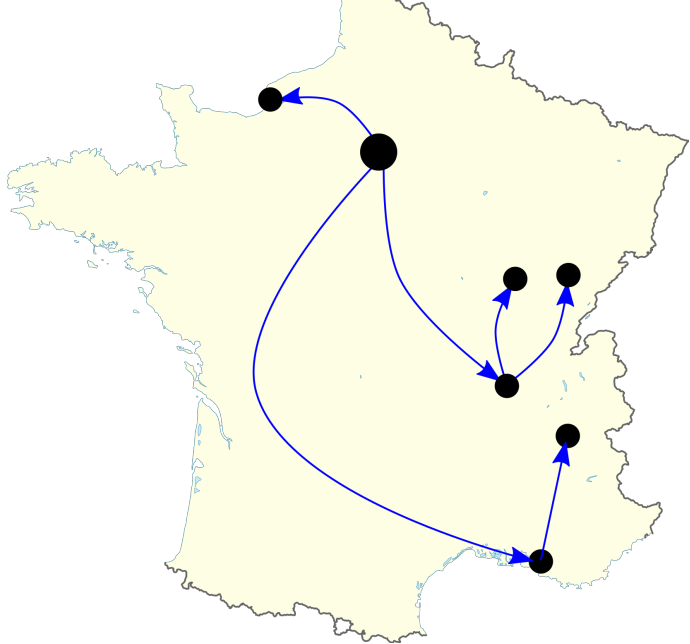
$\vec{G}$  a un packing de 3 arborescences couvrantes.



$\vec{G}$  a un packing de 3 arborescences couvrantes.



$\vec{G}$  a un packing de 3 arborescences couvrantes.



$\vec{G}$  a un packing de 3 arborescences couvrantes.

Problème : s'il y a une grève des trains, il est possible qu'il n'y ait plus aucun chemin utilisable.

⇒ On souhaite des chemins disjoints qui utilisent des moyens de transport différents.

Problème : s'il y a une grève des trains, il est possible qu'il n'y ait plus aucun chemin utilisable.

⇒ On souhaite des chemins disjoints qui utilisent des moyens de transport différents.

But : étudier une notion de connexité où l'on souhaite des chemins disjoints et **indépendants**.

Il existe une « théorie de l'indépendance » : la théorie des **matroïdes**.

## Définition

Un **matroïde** est un couple  $\mathcal{M} = (S, \mathcal{I})$  où :

- 1  $S$  est un ensemble d'**éléments**.
- 2  $\mathcal{I}$  un ensemble de parties de  $S$  appelés **indépendants** vérifiant :
  - $\emptyset \in \mathcal{I}$ .
  - $I \subseteq J \in \mathcal{I} \implies I \in \mathcal{I}$ .
  - $I, J \in \mathcal{I}$  et  $|I| < |J| \implies \exists j \in J - I, I \cup \{j\} \in \mathcal{I}$ .

## Définition

Un **matroïde** est un couple  $\mathcal{M} = (S, \mathcal{I})$  où :

- 1  $S$  est un ensemble d'**éléments**.
- 2  $\mathcal{I}$  un ensemble de parties de  $S$  appelés **indépendants** vérifiant :
  - $\emptyset \in \mathcal{I}$ .
  - $I \subseteq J \in \mathcal{I} \implies I \in \mathcal{I}$ .
  - $I, J \in \mathcal{I}$  et  $|I| < |J| \implies \exists j \in J - I, I \cup \{j\} \in \mathcal{I}$ .

## Définition

- Une **base** de  $\mathcal{M}$  est un indépendant de taille maximum.
- Le **rang**  $r(\mathcal{M})$  de  $\mathcal{M}$  est la taille d'une de ses bases.
- Deux éléments de  $s_1, s_2$  de  $\mathcal{M}$  sont **parallèles** si  $\{s_1, s_2\} \notin \mathcal{I}$ .

Soit  $\mathcal{M}$  un matroïde.

## Définition

Un  **$\mathcal{M}$ -graphe** (orienté) est un graphe (orienté) avec une racine  $r$  dont les arcs sortant sont identifiés avec les éléments de  $\mathcal{M}$ .

Soit  $\mathcal{M}$  un matroïde.

## Définition

Un  **$\mathcal{M}$ -graphe** (orienté) est un graphe (orienté) avec une racine  $r$  dont les arcs sortant sont identifiés avec les éléments de  $\mathcal{M}$ .

## Définition

Un  $\mathcal{M}$ -graphe orienté  $\vec{\mathcal{G}}$  enraciné en  $r$  est  **$\mathcal{M}$ -arc-connexe** si tout sommet  $v \neq r$  est atteignable depuis  $r$  par des chemins arc-disjoints dont les premiers arcs forment une base de  $\mathcal{M}$ .

Soit  $\mathcal{M}$  un matroïde.

## Définition

Un  **$\mathcal{M}$ -graphe** (orienté) est un graphe (orienté) avec une racine  $r$  dont les arcs sortant sont identifiés avec les éléments de  $\mathcal{M}$ .

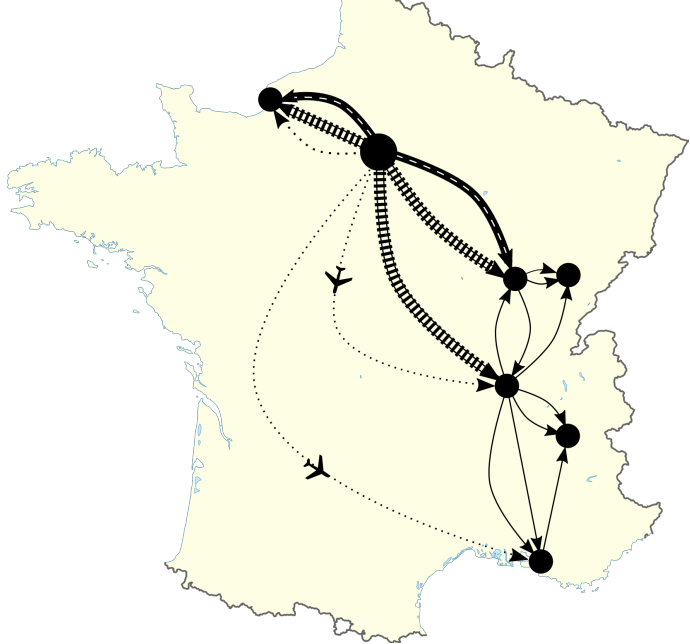
## Définition

Un  $\mathcal{M}$ -graphe orienté  $\vec{\mathcal{G}}$  enraciné en  $r$  est  **$\mathcal{M}$ -arc-connexe** si tout sommet  $v \neq r$  est atteignable depuis  $r$  par des chemins arc-disjoints dont les premiers arcs forment une base de  $\mathcal{M}$ .

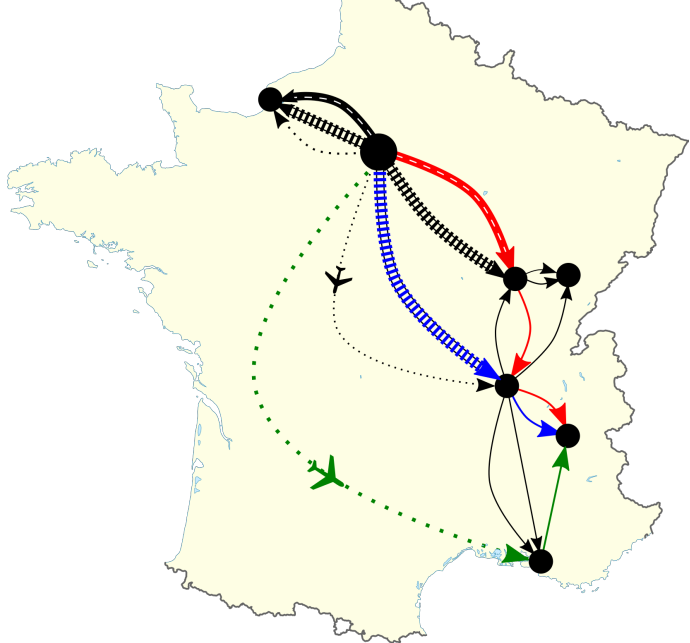
## Définition

Un  $\mathcal{M}$ -graphe  $\mathcal{G}$  est  **$\mathcal{M}$ -partition-connexe** s'il possède une orientation  $\mathcal{M}$ -arc-connexe.





Ce  $\mathcal{M}$ -graphe est  $\mathcal{M}$ -arc-connexe.



Exemple : il y a 3 chemins « indépendants » de Paris vers Grenoble.

## Définition

Un packing de  $r$ -arborescences est un  **$\mathcal{M}$ -packing** si, pour tout sommet  $v \neq r$ , les premiers arcs des chemins utilisant ces arborescences forment une base du matroïde  $\mathcal{M}$ .

## Définition

Un packing de  $r$ -arborescences est un  **$\mathcal{M}$ -packing** si, pour tout sommet  $v \neq r$ , les premiers arcs des chemins utilisant ces arborescences forment une base du matroïde  $\mathcal{M}$ .

## Problématique de la thèse

Est-ce que les théorèmes d'Edmonds et Tutte restent vrais avec contraintes de matroïdes ?

Durand de Gevigney, Nguyen et Szigeti ont prouvé un théorème de packing qui ne garantit pas que les arborescences soient couvrantes :

Théorème (Durand de Gevigney, Nguyen et Szigeti, 2013)

$\vec{\mathcal{G}}$  est  $\mathcal{M}$ -arc-connexe.

$\iff$

$\vec{\mathcal{G}}$  contient un  $\mathcal{M}$ -packing d'arborescences.

Durand de Gevigney, Nguyen et Szigeti ont prouvé un théorème de packing qui ne garantit pas que les arborescences soient couvrantes :

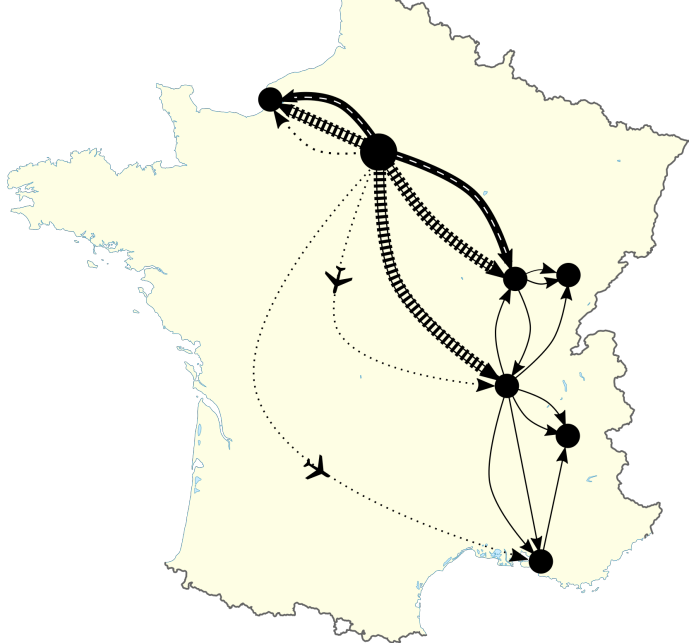
**Théorème (Durand de Gevigney, Nguyen et Szigeti, 2013)**

$\vec{\mathcal{G}}$  est  $\mathcal{M}$ -arc-connexe.  
 $\iff$   
 $\vec{\mathcal{G}}$  contient un  $\mathcal{M}$ -packing d'arborescences.

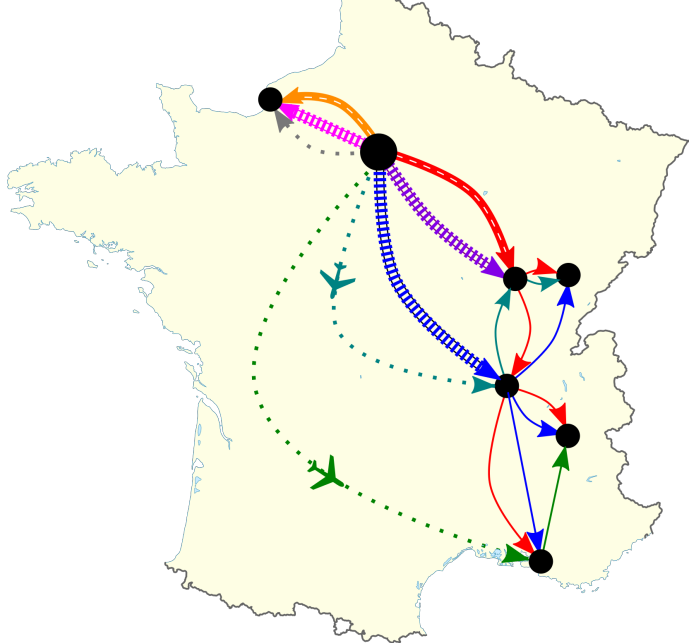
Ce qui implique la version non orientée, démontrée initialement par Katoh et Tanigawa :

**Théorème (Katoh et Tanigawa, 2013)**

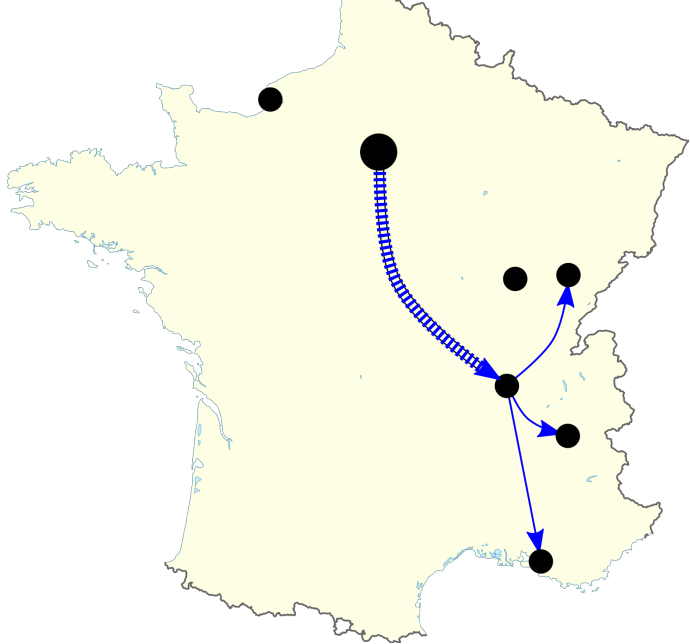
$\mathcal{G}$  est  $\mathcal{M}$ -partition-connexe.  
 $\iff$   
 $\mathcal{G}$  contient un  $\mathcal{M}$ -packing d'arbres.



Ce  $\mathcal{M}$ -graphe est  $\mathcal{M}$ -arc-connexe.



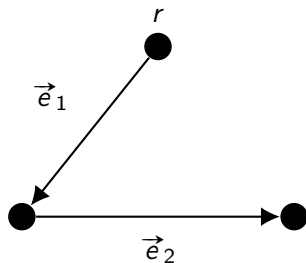
Un  $\mathcal{M}$ -packing de 8 arborescences, non couvrantes.



Exemple : l'arborescence bleue n'est pas couvrante.

## Packing avec contraintes de matroïdes

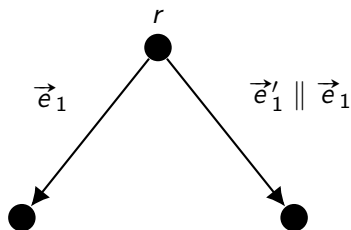
Durand de Gevigney, Nguyen et Szigeti ont utilisé une opération de réduction sur deux arcs  $\vec{e}_1$  et  $\vec{e}_2$  d'un  $\mathcal{M}$ -graphe orienté :



Avant l'opération.

## Packing avec contraintes de matroïdes

Durand de Gevigney, Nguyen et Szigeti ont utilisé une opération de réduction sur deux arcs  $\vec{e}_1$  et  $\vec{e}_2$  d'un  $\mathcal{M}$ -graphe orienté :



Après l'opération.

$\vec{e}'_1$  est un nouvel arc parallèle à  $\vec{e}_1$  dans  $\mathcal{M}$ .

## Construction des graphes $\mathcal{M}$ -arc-connexes

Soit  $\vec{\mathcal{G}}$   $\mathcal{M}$ -arc-connexe.

Exactement l'une des propositions suivantes est vraie :

- 1 Tous les arcs de  $\vec{\mathcal{G}}$  sortent de la racine.
- 2 On peut réduire  $\vec{\mathcal{G}}$  en un  $\mathcal{M}'$ -arc-connexe  $\mathcal{M}'$ -graphe.

## Construction des graphes $\mathcal{M}$ -arc-connexes

Soit  $\vec{\mathcal{G}}$   $\mathcal{M}$ -arc-connexe.

Exactement l'une des propositions suivantes est vraie :

- 1 Tous les arcs de  $\vec{\mathcal{G}}$  sortent de la racine.
- 2 On peut réduire  $\vec{\mathcal{G}}$  en un  $\mathcal{M}'$ -arc-connexe  $\mathcal{M}'$ -graphe.

Ce qui permet de prouver par récurrence :

**Théorème (Durand de Gevigney, Nguyen et Szigeti, 2013)**

$\vec{\mathcal{G}}$  est  $\mathcal{M}$ -arc-connexe.

$\iff$

$\vec{\mathcal{G}}$  contient un  $\mathcal{M}$ -packing d'arborescences.

Frank, Bérczi, T. Király et Kobayashi ont conjecturé que le théorème d'Edmonds reste vrai avec contraintes de matroïdes :

## Conjecture de Frank

$\vec{\mathcal{G}}$  est  $\mathcal{M}$ -arc-connexe.



$\vec{\mathcal{G}}$  contient un  $\mathcal{M}$ -packing d'arborescences **couvrantes**.

Frank, Bérczi, T. Király et Kobayashi ont conjecturé que le théorème d'Edmonds reste vrai avec contraintes de matroïdes :

## Conjecture de Frank

$\vec{\mathcal{G}}$  est  $\mathcal{M}$ -arc-connexe.

$\iff$

$\vec{\mathcal{G}}$  contient un  $\mathcal{M}$ -packing d'arborescences **couvrantes**.

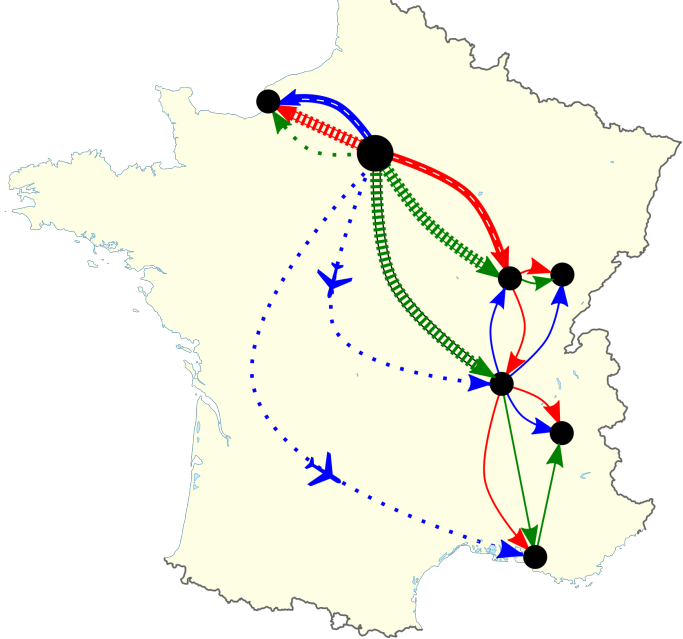
Cette conjecture impliquerait une version non orientée, généralisant le théorème de Tutte :

## Conjecture de Frank, non orienté

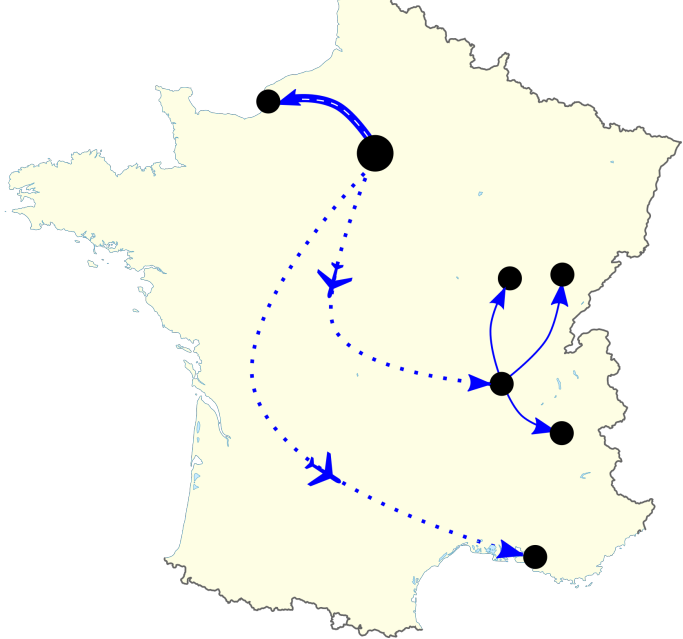
$\mathcal{G}$  est  $\mathcal{M}$ -partition-connexe.

$\iff$

$\mathcal{G}$  contient un  $\mathcal{M}$ -packing d'arbres **couvrants**.

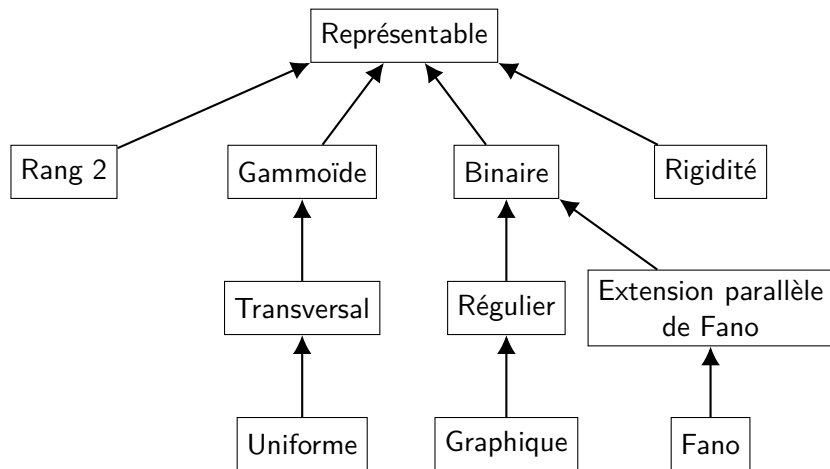


Un  $\mathcal{M}$ -packing d'arborescences couvrantes.

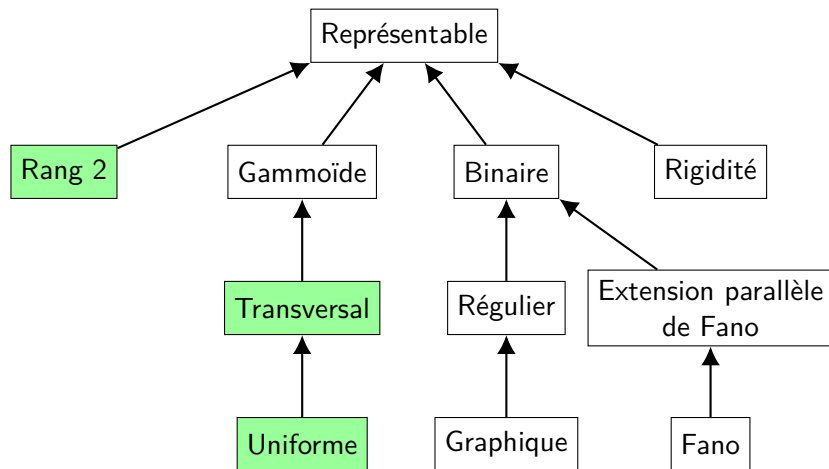


Exemple : l'arborescence bleue est couvrante.

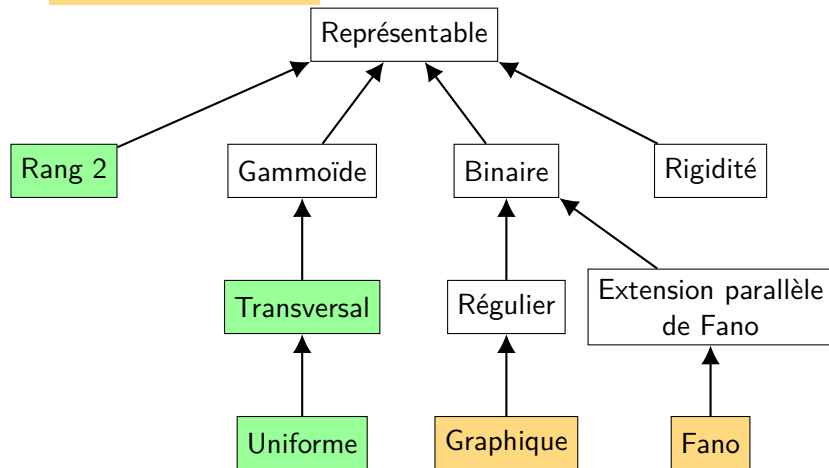
Quelques matroïdes classiques (un arc représente une inclusion) :



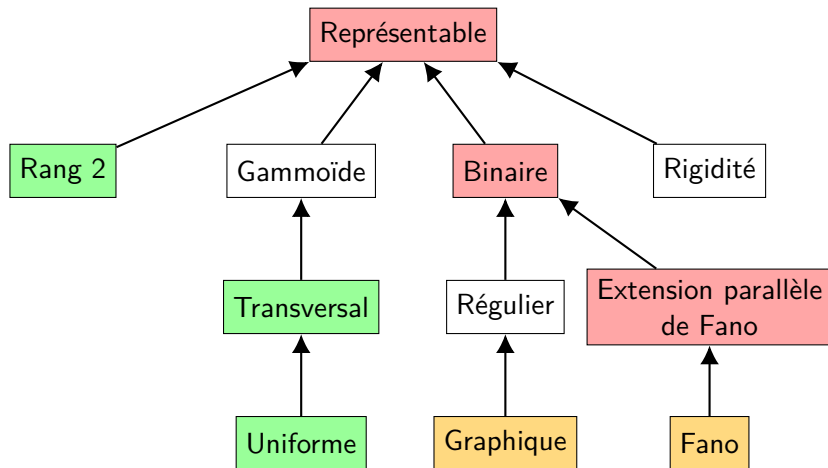
- ① **Prouver** la conjecture de Frank pour certains matroïdes .



- ② **Prouver** la conjecture de Frank pour les graphes acycliques et certains matroïdes.



- 3 **Réfuter** la conjecture de Frank pour certains matroïdes (et donc dans le cas général).



## Théorème (Fortier, Király, Szigeti, Tanigawa)

$\vec{\mathcal{G}}$  est  $\mathcal{M}$ -arc-connexe, avec  $r(\mathcal{M}) = 2$ .



$\vec{\mathcal{G}}$  contient un  $\mathcal{M}$ -packing de 2 arborescences couvrantes.

## Théorème (Fortier, Király, Szigeti, Tanigawa)

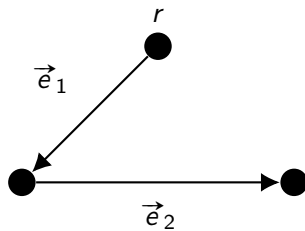
$\vec{\mathcal{G}}$  est  $\mathcal{M}$ -arc-connexe, avec  $r(\mathcal{M}) = 2$ .



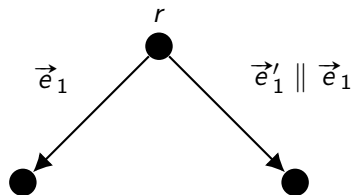
$\vec{\mathcal{G}}$  contient un  $\mathcal{M}$ -packing de 2 arborescences couvrantes.

Preuve :

Par récurrence, en utilisant la construction des  $\mathcal{M}$ -graphes orientés  $\mathcal{M}$ -arc-connexes.

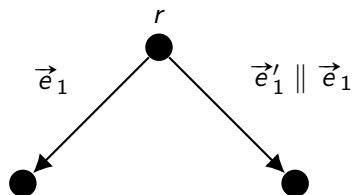


Soit  $\vec{\mathcal{G}}$  un  $\mathcal{M}$ -graphe  $\mathcal{M}$ -arc-connexe.



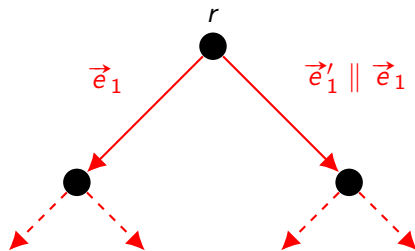
Soit  $\vec{\mathcal{G}}$  un  $\mathcal{M}$ -graphe  $\mathcal{M}$ -arc-connexe.

$\vec{\mathcal{G}}$  peut être réduit en un  $\mathcal{M}'$ -graphe  $\mathcal{M}'$ -arc-connexe  $\vec{\mathcal{G}}'$ .

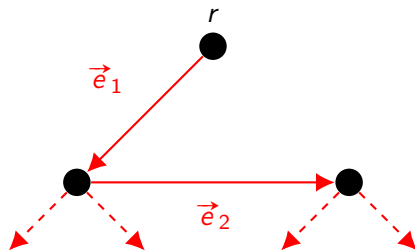


Par hypothèse de récurrence :

$\vec{\mathcal{G}}'$  possède un  $\mathcal{M}'$ -packing d'arborescences couvrantes  $\vec{T}_1$ ,  $\vec{T}_2$ .

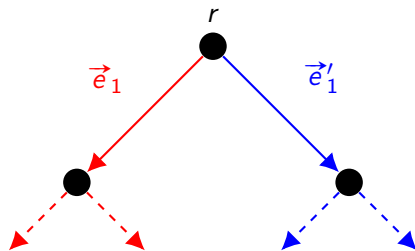


Cas 1 :  $\vec{e}_1$  et  $\vec{e}'_1$  appartiennent à la même arborescence  $\vec{T}_1$ .



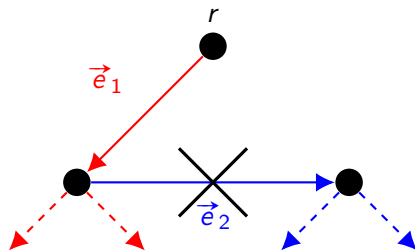
Cas 1 :  $\vec{e}_1$  et  $\vec{e}'_1$  appartiennent à la même arborescence  $\vec{T}_1$ .

$\vec{T}_1 + \vec{e}_2 - \vec{e}'_1$  et  $\vec{T}_2$  est un  $\mathcal{M}$ -packing d'arborescences couvrantes dans  $\vec{\mathcal{G}}$ .



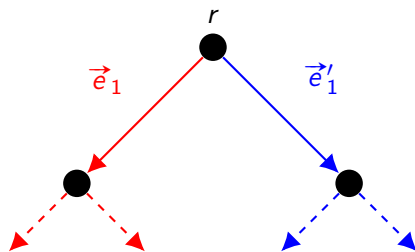
Cas 2 :  $\vec{e}_1$  et  $\vec{e}'_1$  sont dans deux arborescences différentes.

Disons  $\vec{e}_1 \in \vec{T}_1$  et  $\vec{e}'_1 \in \vec{T}_2$ .



Cas 2 :  $\vec{e}_1$  et  $\vec{e}'_1$  sont dans deux arborescences différentes.

$\vec{T}_1$  et  $\vec{T}_2 + \vec{e}_2 - \vec{e}'_1$  **n'est pas** forcément un  $\mathcal{M}$ -packing d'arborescences couvrantes dans  $\vec{\mathcal{G}}$ .



Cas 2 :  $\vec{e}_1$  et  $\vec{e}'_1$  sont dans deux arborescences différentes.

Pour revenir au cas 1, il faudrait changer la couleur de  $\vec{e}'_1$  sans changer celle de  $\vec{e}_1$ .

## Lemme d'échange

Soit  $\vec{T}_1, \vec{T}_2$  un  $\mathcal{M}$ -packing d'arborescences couvrantes.

## Lemme d'échange

Soit  $\vec{T}_1, \vec{T}_2$  un  $\mathcal{M}$ -packing d'arborescences couvrantes.

Soit  $\vec{e} \in \vec{T}_2$  un arc sortant de  $r$  et  $V_{\vec{e}}$  l'ensemble des sommets atteignables dans  $\vec{T}_2$  depuis un arc parallèle à  $\vec{e}$ .

## Lemme d'échange

Soit  $\vec{T}_1, \vec{T}_2$  un  $\mathcal{M}$ -packing d'arborescences couvrantes.

Soit  $\vec{e} \in \vec{T}_2$  un arc sortant de  $r$  et  $V_{\vec{e}}$  l'ensemble des sommets atteignables dans  $\vec{T}_2$  depuis un arc parallèle à  $\vec{e}$ .

Échangeons les couleurs des arcs entrant dans un sommet de  $V_{\vec{e}}$ .

# Lemme d'échange

Soit  $\vec{T}_1, \vec{T}_2$  un  $\mathcal{M}$ -packing d'arborescences couvrantes.

Soit  $\vec{e} \in \vec{T}_2$  un arc sortant de  $r$  et  $V_{\vec{e}}$  l'ensemble des sommets atteignables dans  $\vec{T}_2$  depuis un arc parallèle à  $\vec{e}$ .

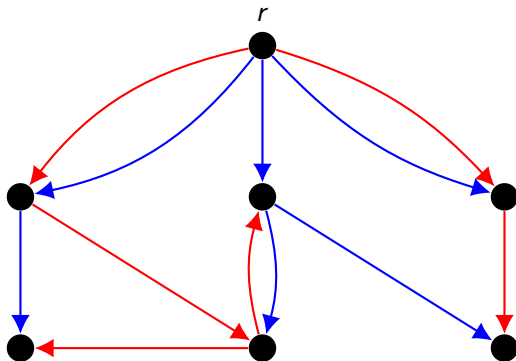
Échangeons les couleurs des arcs entrant dans un sommet de  $V_{\vec{e}}$ .

Alors :

## Lemme d'échange

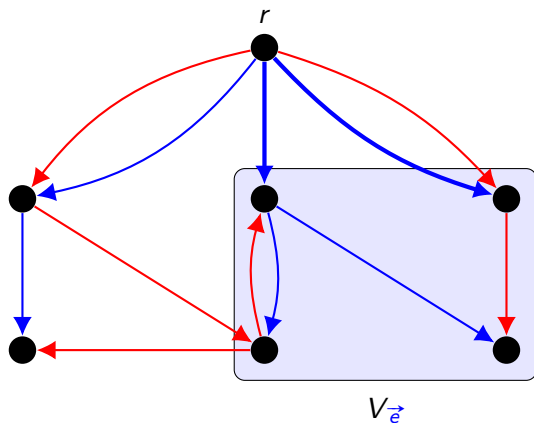
- 1 Les arcs **rouges** forment une arborescence couvrante  $\vec{T}'_1$ .
- 2 Les arcs **bleus** forment une arborescence couvrante  $\vec{T}'_2$ .
- 3  $\vec{T}'_1, \vec{T}'_2$  est un  $\mathcal{M}$ -packing d'arborescences couvrantes.

# Lemme d'échange



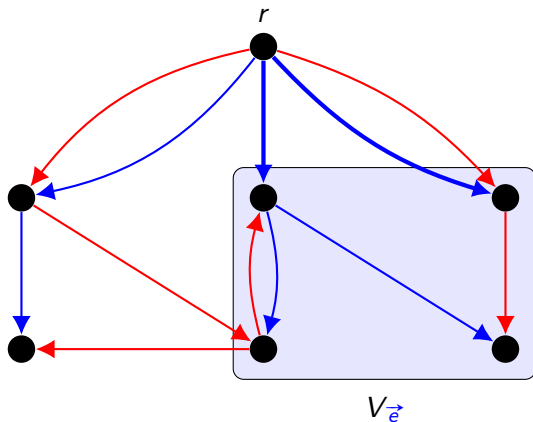
Un  $\mathcal{M}$ -packing  $\vec{T}_1, \vec{T}_2$  d'arborescences couvrantes.

# Lemme d'échange



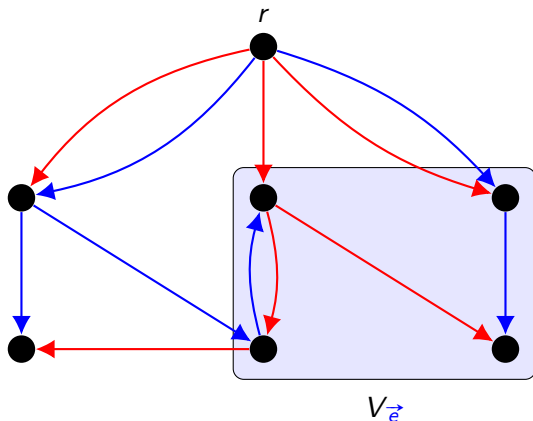
Soit  $V_{\vec{e}}$  l'ensemble des sommets atteignables dans  $\vec{T}_2$  depuis un arc parallèle à  $\vec{e} \in \vec{T}_2$ .

# Lemme d'échange



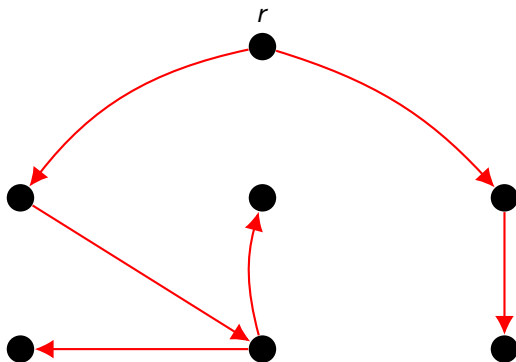
On échange les couleurs des arcs entrant dans un sommet de  $V_e$ .

# Lemme d'échange



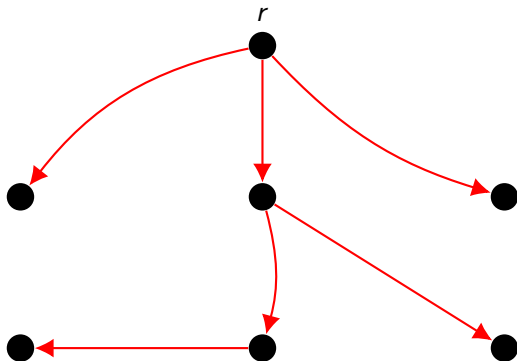
On obtient un  $\mathcal{M}$ -packing d'arborescences couvrantes  $\vec{T}'_1, \vec{T}'_2$ .

# Lemme d'échange

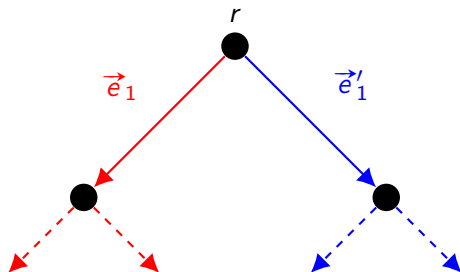


Avant échange :  $\vec{T}_1$

# Lemme d'échange

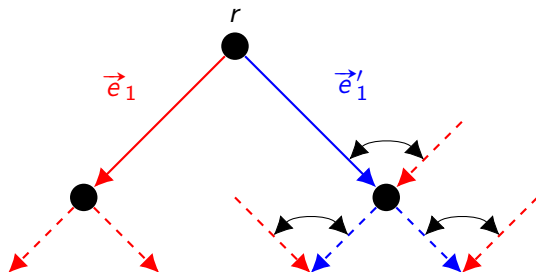


Après échange :  $\vec{T}'_1$



Cas 2 :  $\vec{e}_1$  et  $\vec{e}'_1$  sont dans deux arborescences différentes.

Pour revenir au cas 1, il faudrait changer la couleur de  $\vec{e}'_1$  sans changer celle de  $\vec{e}_1$ .



Cas 2 :  $\vec{e}_1$  et  $\vec{e}'_1$  sont dans deux arborescences différentes.

On applique le lemme d'échange sur  $\vec{e}'_1$  et on se ramène au cas 1.



## Lemme

Un graphe acyclique possède un **puits** : un sommet d'où ne sort aucun arc.

## Lemme

Un graphe acyclique possède un **puits** : un sommet d'où ne sort aucun arc.

La suppression d'un puits dans un graphe acyclique donne à nouveau un graphe acyclique, d'où :

## Lemme

Tout graphe acyclique peut être obtenu à partir d'un sommet isolé en rajoutant successivement des puits.

## Construction des graphes acycliques $k$ -arc-connexes enracinés

$\vec{G}$  est un graphe acyclique minimalement  $k$ -arc-connexe depuis  $r$ .



$\vec{G}$  peut être construit à partir de  $r$  en ajoutant itérativement un puits et  $k$  arcs  $y$  entrant.

## Construction des graphes acycliques $\mathcal{M}$ -arc-connexes

$\vec{\mathcal{G}}$  est un  $\mathcal{M}$ -graphe acyclique minimalement  $\mathcal{M}$ -arc-connexe depuis  $r$ .



$\vec{\mathcal{G}}$  peut être construit à partir de  $r$  en ajoutant itérativement un puits et  $r(\mathcal{M})$  arcs  $y$  entrant, ceux sortant de  $r$  étant indépendants.

Cette construction donne une preuve « gloutonne » simple du théorème d'Edmonds pour les graphes acycliques, par induction :

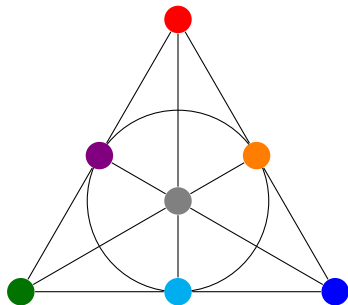
- 1 Commencer avec  $k$  arborescences contenant uniquement la racine.
- 2 Ajouter itérativement un puits en assignant chaque arc  $y$  entrant à une arborescence différente.

Cette construction donne une preuve « gloutonne » simple du théorème d'Edmonds pour les graphes acycliques, par induction :

- 1 Commencer avec  $k$  arborescences contenant uniquement la racine.
- 2 Ajouter itérativement un puits en assignant chaque arc  $y$  entrant à une arborescence différente.

## Question

Peut-on faire de même avec les graphes acycliques  $\mathcal{M}$ -arc-connexes ?



Le matroïde de Fano  $\mathcal{F}_7$  possède :

- 7 éléments : les sommets en couleurs.
- 28 bases : les triplets non alignés (le cercle étant considéré comme une ligne).

## Théorème (Fortier, Király, Szigeti, Tanigawa)

Soit  $\vec{\mathcal{G}}$  acyclique :

$\vec{\mathcal{G}}$  est  $\mathcal{F}_7$ -arc-connexe depuis  $r$ .

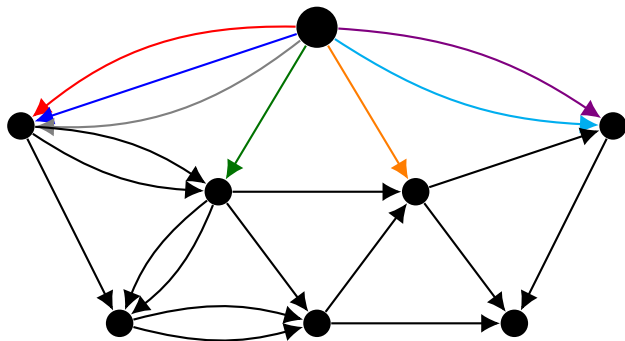
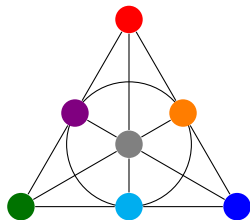


$\vec{\mathcal{G}}$  a un  $\mathcal{F}_7$ -packing d'arborescences couvrantes.

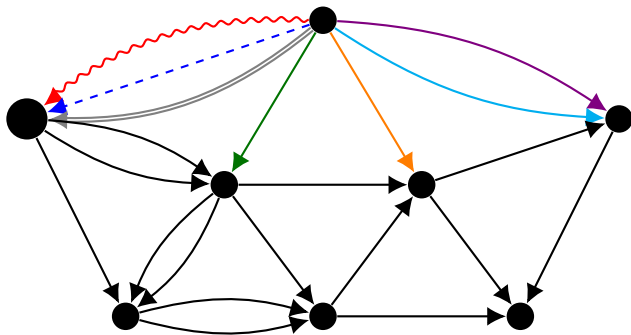
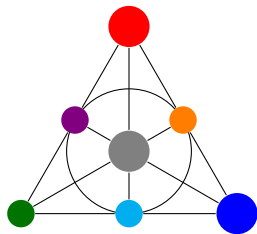
Preuve : par étude exhaustive, on montre que la méthode gloutonne précédente fonctionne.

Donnons un exemple.

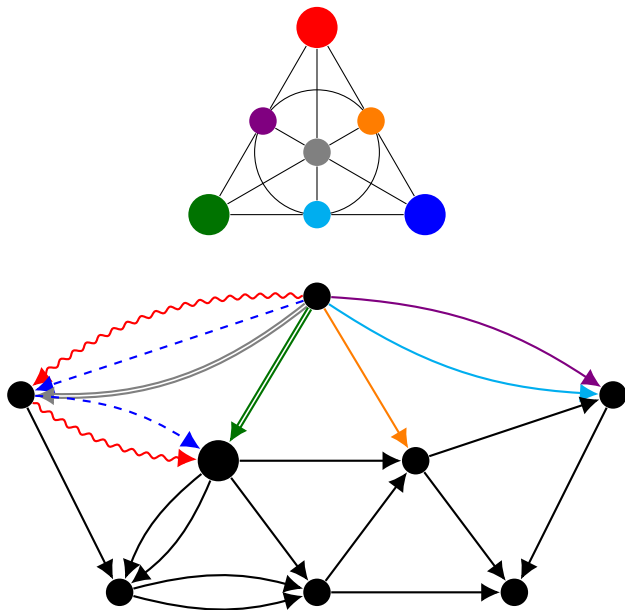
# Graphe acyclique et matroïde de Fano



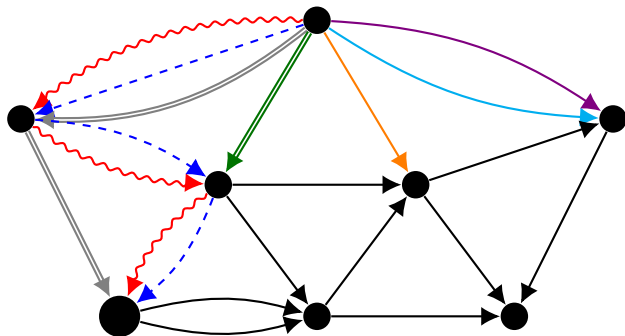
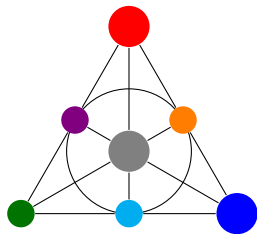
# Graphe acyclique et matroïde de Fano



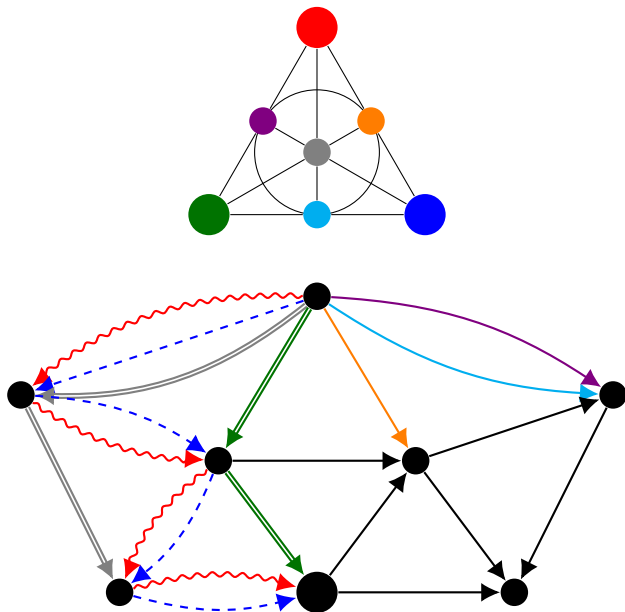
# Graphe acyclique et matroïde de Fano



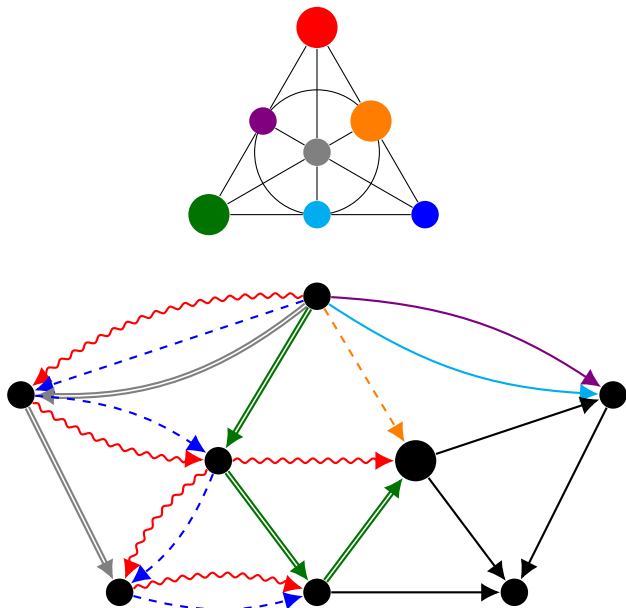
# Graphe acyclique et matroïde de Fano



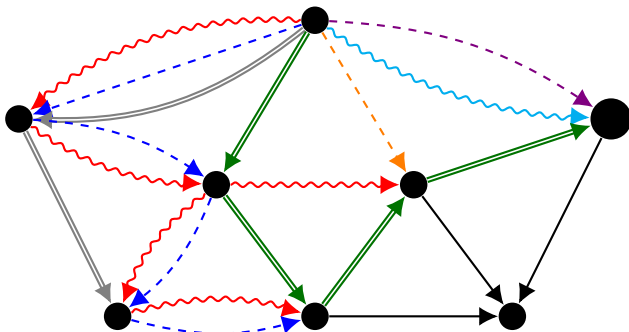
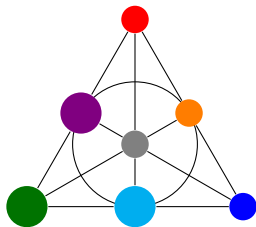
# Graphe acyclique et matroïde de Fano



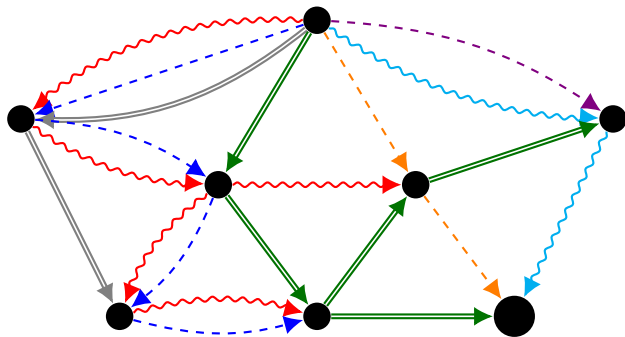
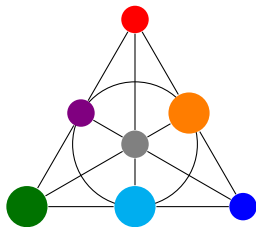
# Graphe acyclique et matroïde de Fano



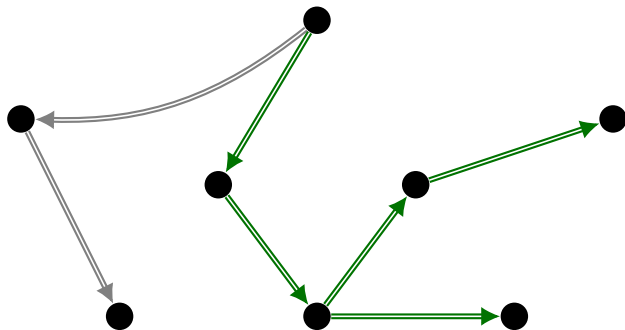
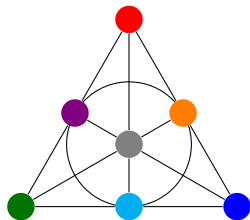
# Graphe acyclique et matroïde de Fano



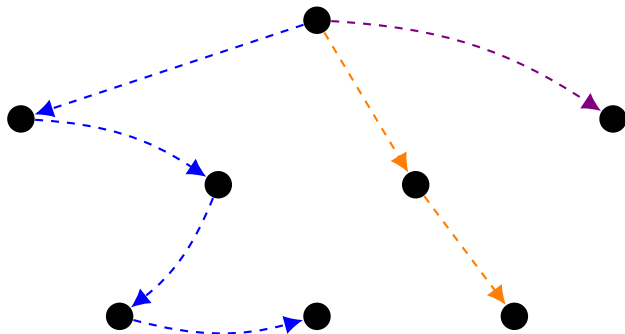
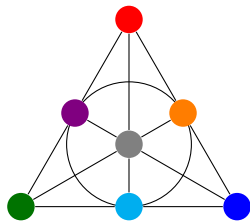
# Graphe acyclique et matroïde de Fano



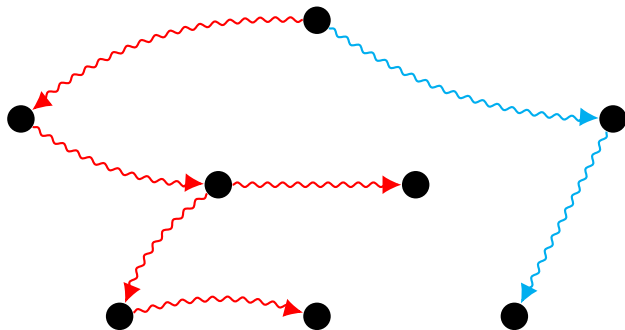
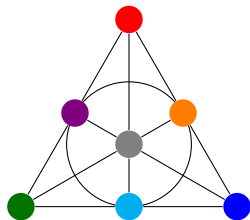
# Grphe acyclique et matroïde de Fano



# Grphe acyclique et matroïde de Fano



# Grphe acyclique et matroïde de Fano



## Question

Cette méthode gloutonne fonctionne-t-elle pour tout  $\vec{\mathcal{G}}$   $\mathcal{M}$ -arc-connexe acyclique, avec  $\mathcal{M}$  matroïde quelconque ?

## Question

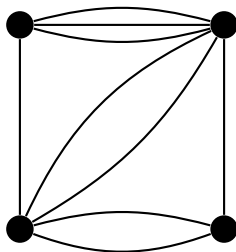
Cette méthode gloutonne fonctionne-t-elle pour tout  $\vec{\mathcal{G}}$   $\mathcal{M}$ -arc-connexe acyclique, avec  $\mathcal{M}$  matroïde quelconque ?

Réponse : non, par exemple pour les matroïdes graphiques.

# Matroïde graphique

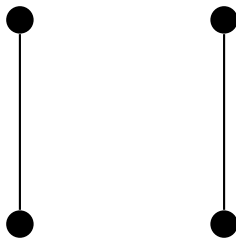
Un matroïde  $\mathcal{M}$  est **graphique** s'il existe un graphe  $G$  tel que :

- les éléments de  $\mathcal{M}$  sont les arêtes de  $G$ .
- les indépendants de  $\mathcal{M}$  sont les ensembles d'arêtes sans cycle.



Un matroïde  $\mathcal{M}$  est **graphique** s'il existe un graphe  $G$  tel que :

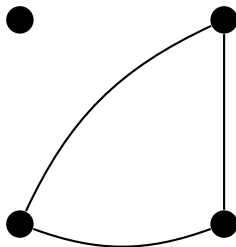
- les éléments de  $\mathcal{M}$  sont les arêtes de  $G$ .
- les indépendants de  $\mathcal{M}$  sont les ensembles d'arêtes sans cycle.



Un ensemble indépendant

Un matroïde  $\mathcal{M}$  est **graphique** s'il existe un graphe  $G$  tel que :

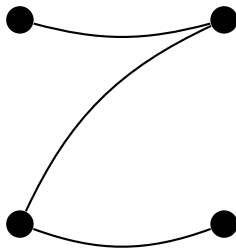
- les éléments de  $\mathcal{M}$  sont les arêtes de  $G$ .
- les indépendants de  $\mathcal{M}$  sont les ensembles d'arêtes sans cycle.



Un ensemble non indépendant

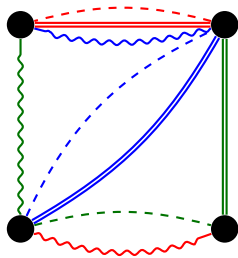
Un matroïde  $\mathcal{M}$  est **graphique** s'il existe un graphe  $G$  tel que :

- les éléments de  $\mathcal{M}$  sont les arêtes de  $G$ .
- les indépendants de  $\mathcal{M}$  sont les ensembles d'arêtes sans cycle.

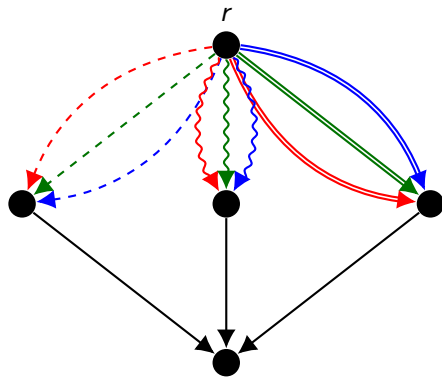


Une base : un arbre couvrant

# Grphe acyclique et matroïde graphique

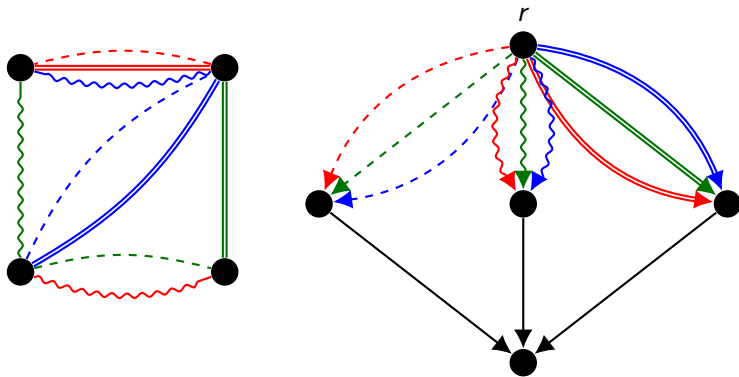


Matroïde graphique  $\mathcal{M}$



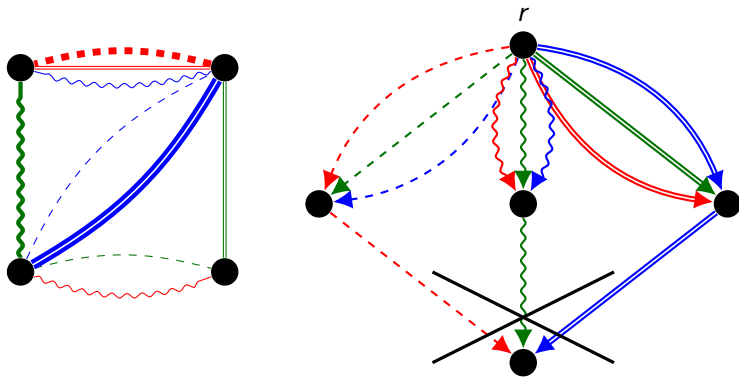
$\vec{\mathcal{G}}$   $\mathcal{M}$ -arc-connexe

# Grphe acyclique et matroïde graphique



Il est impossible de compléter les arborescences  $\vec{T}_1$ ,  $\vec{T}_2$ ,  $\vec{T}_3$ .

# Grphe acyclique et matroïde graphique



Il est impossible de compléter les arborescences  $\vec{T}_1$ ,  $\vec{T}_2$ ,  $\vec{T}_3$ .

Lorsque l'on échoue à prouver un théorème par induction...  
... on peut essayer de renforcer le théorème jusqu'à ce que l'induction fonctionne.

**Inventor's paradox :**

The more ambitious plan may have more chances of success.

– George Pólya, How to Solve It.

# Graphe acyclique et matroïde graphique

Soit  $\{0, 1, \dots, k\}$  les sommets du graphe représentant un matroïde graphique  $\mathcal{M} = (S, \mathcal{I})$ .

# Grphe acyclique et matroïde graphique

Soit  $\{0, 1, \dots, k\}$  les sommets du graphe représentant un matroïde graphique  $\mathcal{M} = (\mathcal{S}, \mathcal{I})$ .

On arrive alors à prouver par induction :

**Théorème (Fortier, Király, Szigeti, Tanigawa)**

Soit  $\vec{\mathcal{G}}$  un  $\mathcal{M}$ -graphe orienté acyclique :

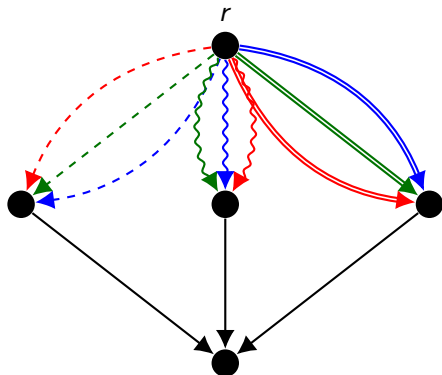
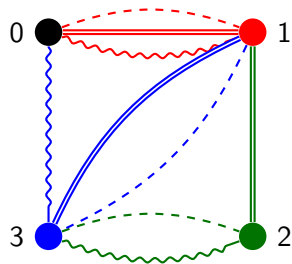
$\vec{\mathcal{G}}$  est  $\mathcal{M}$ -arc-connexe depuis  $r$ .

$\iff$

$\vec{\mathcal{G}}$  a un  $\mathcal{M}$ -packing d'arborescences couvrantes  $\vec{T}_1, \dots, \vec{T}_k$  telles que :

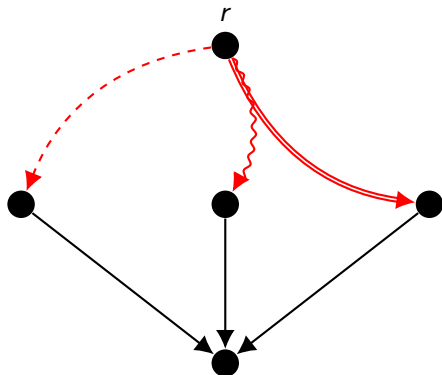
**$\forall e \in \mathcal{S} \cap \vec{T}_i, e$  est adjacent au sommet  $i$ .**

# Graphe acyclique et matroïde graphique



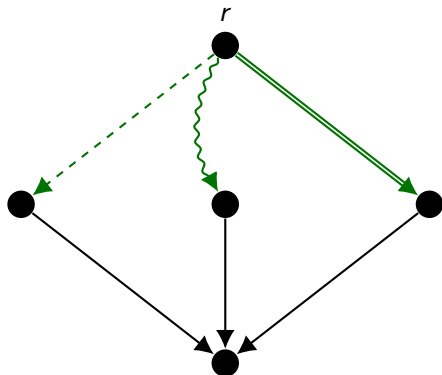
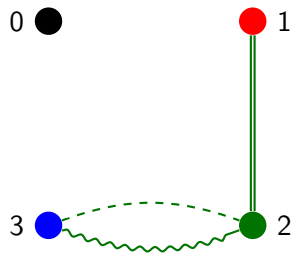
3 arborescences  $\vec{T}_1$ ,  $\vec{T}_2$ ,  $\vec{T}_3$  telles que  $\forall e \in S \cap \vec{T}_i$ ,  $e$  est adjacent au sommet  $i$ .

# Graphe acyclique et matroïde graphique



3 arborescences  $\vec{T}_1, \dots$ , telles que  $\forall e \in S \cap \vec{T}_i, e$  est adjacent au sommet  $i$ .

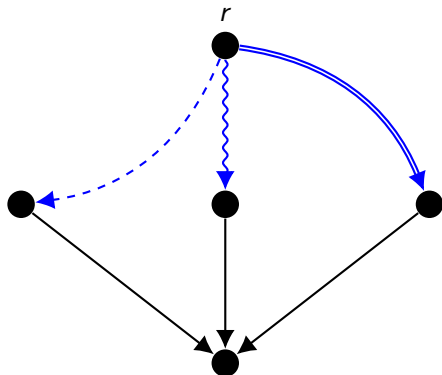
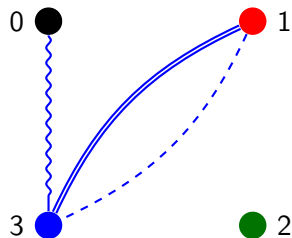
# Graphe acyclique et matroïde graphique



3 arborescences  $\vec{T}_1, \vec{T}_2, \vec{T}_3$ ,  
telles que  $\forall e \in S \cap \vec{T}_i, e$  est adjacent au  
sommet  $i$ .

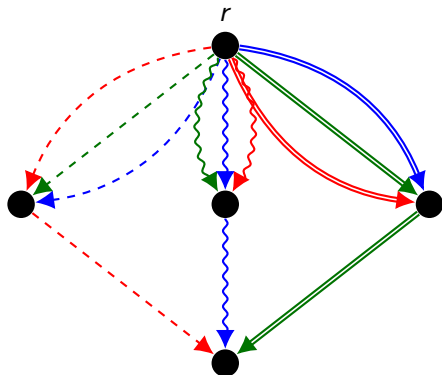
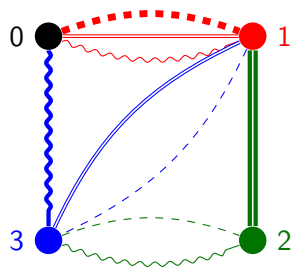
telles que  $\forall e \in S \cap \vec{T}_i, e$  est adjacent au

# Graphe acyclique et matroïde graphique



3 arborescences  $\vec{T}_1$ ,  $\vec{T}_2$ ,  $\vec{T}_3$  telles que  $\forall e \in S \cap \vec{T}_i$ ,  $e$  est adjacent au sommet  $i$ .

# Graphe acyclique et matroïde graphique



On peut toujours compléter de telles arborescences  $\vec{T}_1, \vec{T}_2, \vec{T}_3$ .

# Contre-exemple à la conjecture de Frank, non orienté

Nous allons construire un  $\mathcal{M}$ -graphe  $\mathcal{G}$  tel que :

- $\mathcal{M}$  est obtenu à partir du matroïde de Fano en ajoutant des éléments parallèles.
- $\mathcal{G}$  est  $\mathcal{M}$ -partition-connexe.
- $\mathcal{G}$  ne possède pas de  $\mathcal{M}$ -packing d'arbres couvrants.

# Contre-exemple à la conjecture de Frank, non orienté

Nous allons construire un  $\mathcal{M}$ -graphe  $\mathcal{G}$  tel que :

- $\mathcal{M}$  est obtenu à partir du matroïde de Fano en ajoutant des éléments parallèles.
- $\mathcal{G}$  est  $\mathcal{M}$ -partition-connexe.
- $\mathcal{G}$  ne possède pas de  $\mathcal{M}$ -packing d'arbres couvrants.

Nous allons implémenter des opérations :

- préservant la partition-connexité.
- ajoutant des contraintes à un éventuel  $\mathcal{M}$ -packing d'arbres couvrants.

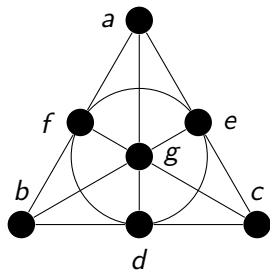
Soit  $\mathcal{G}$  un  $\mathcal{M}$ -graphe et  $B$  une base de  $\mathcal{M}$ .

## Définition

$B$  est une **base forcée** pour un sommet  $v$  si, dans tout  $\mathcal{M}$ -packing d'arbres couvrants de  $\mathcal{G}$ ,  $B$  est l'ensemble des premières arêtes des chemins de la racine à  $v$ .

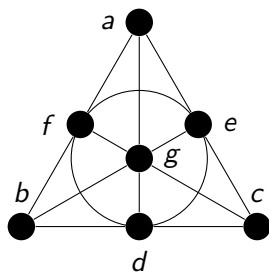
# Base forcée

On donne une lettre à chaque élément de matroïde :

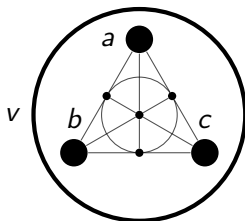


# Base forcée

On donne une lettre à chaque élément de matroïde :

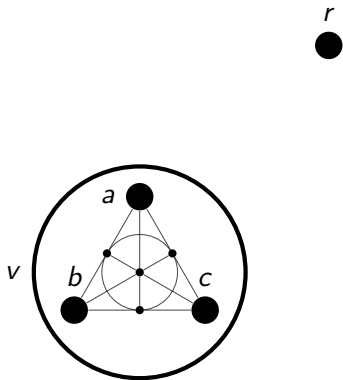


On représente un sommet  $v$  ayant une base forcée  $\{a, b, c\}$  par :



# Opération 1

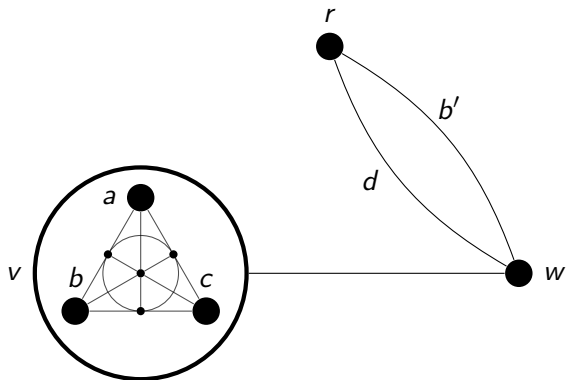
Soient  $r$  la racine et  $v$  un sommet ayant une base forcée  $B = \{a, b, c\}$ .



# Opération 1

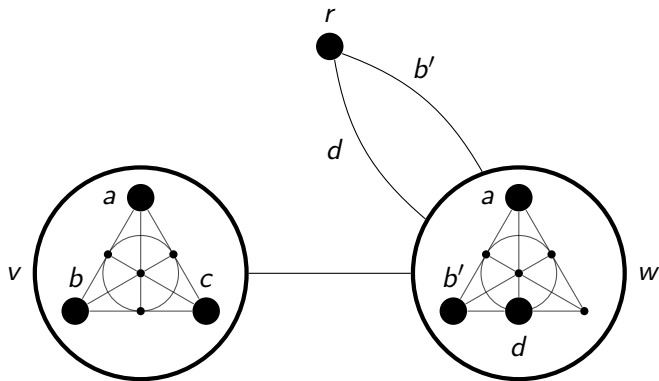
L'opération 1 crée :

- un nouveau sommet  $w$ .
- 2 arêtes  $b'$  et  $d$  entre  $r$  et  $w$ .
- 1 arête entre  $v$  et  $w$ .



# Opération 1

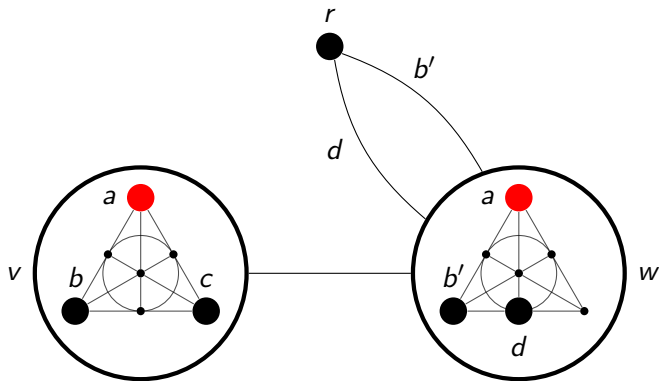
Alors  $\{a, b', d\}$  est une base forcée de  $w$ .



# Opération 1

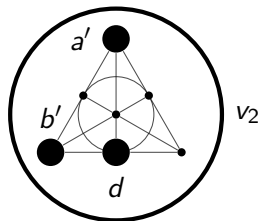
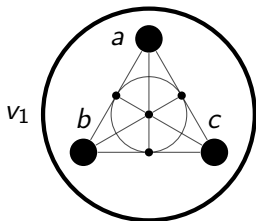
Alors  $\{a, b', d\}$  est une base forcée de  $w$ .

On colorie les éléments d'un même arbre avec la même couleur.



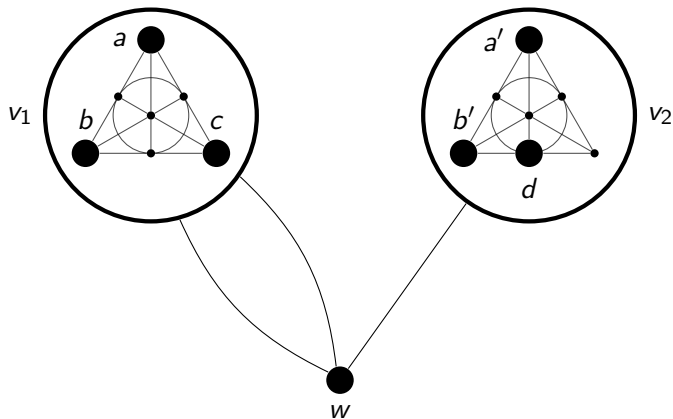
## Opération 2

Soient  $v_1$  et  $v_2$  des sommets avec bases forcées  $\{a, b, c\}$  et  $\{a', b', d\}$ .



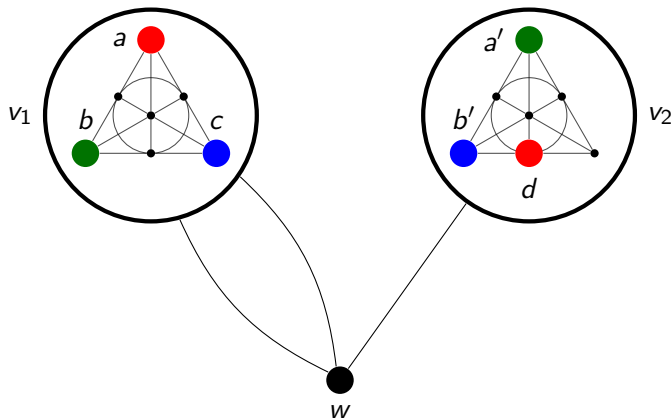
## Opération 2

L'opération 2 crée un sommet  $w$  avec les arêtes suivantes :



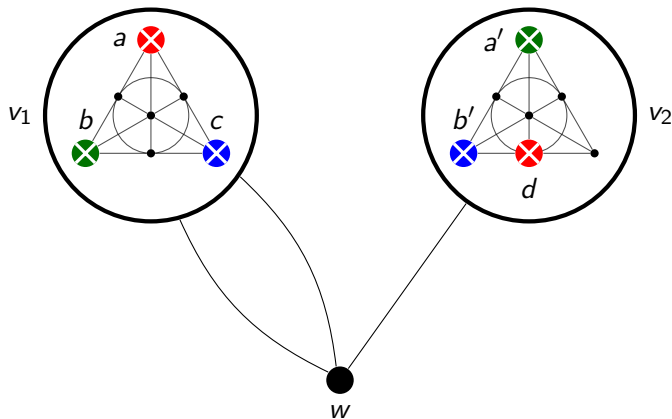
## Opération 2

Alors le coloriage suivant devient impossible, car il n'y a pas de coloriage possible des arêtes adjacentes à  $w$  qui donne une base :



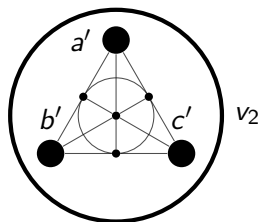
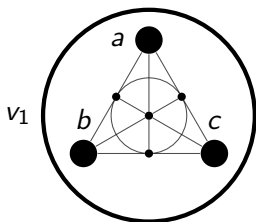
## Opération 2

Alors le coloriage suivant devient impossible, car il n'y a pas de coloriage possible des arêtes adjacentes à  $w$  qui donne une base :



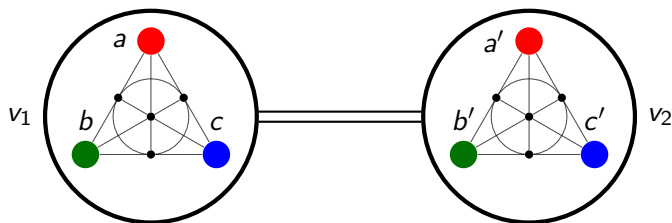
# Opération 3

Soient  $v_1$  et  $v_2$  des sommets avec bases forcées  $\{a, b, c\}$  et  $\{a', b', c'\}$ .



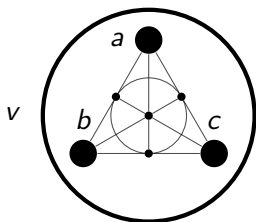
## Opération 3

En utilisant les opérations 1 et 2, on peut forcer les couleurs de  $a, b, c$  à être les mêmes que  $a', b', c'$ .



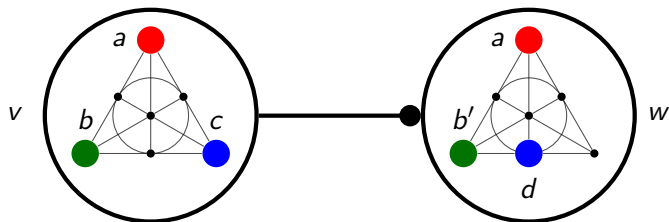
# Opération 4

Soit  $v$  un sommet avec base forcée  $\{a, b, c\}$ .

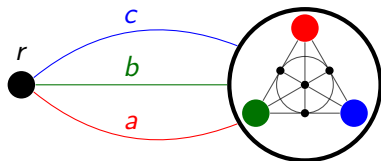


# Opération 4

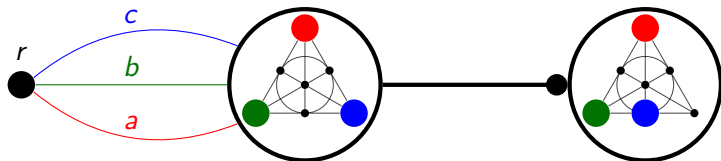
L'opération 4 crée un nouveau sommet  $w$  avec base forcée  $\{a, b', d\}$  tel que  $b, c$  ont les mêmes couleurs que  $b', d$ .



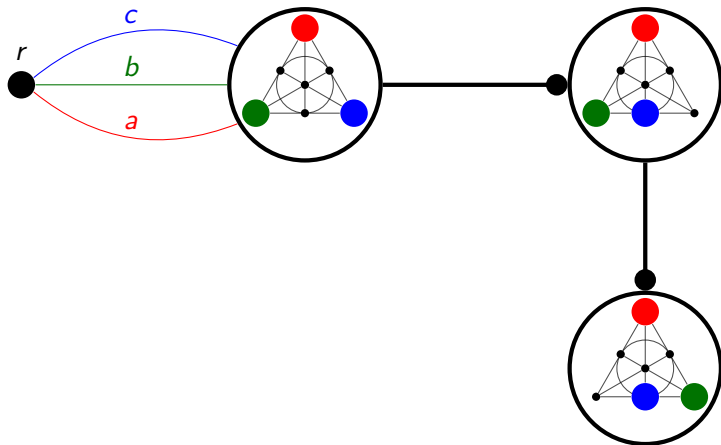
# Contre-exemple à la conjecture de Frank, non orienté



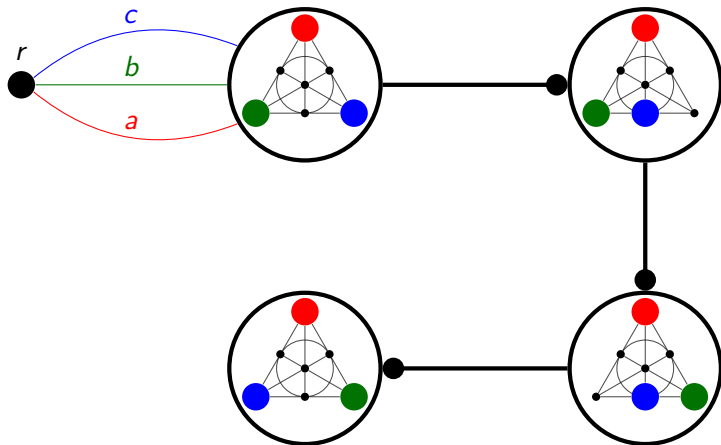
# Contre-exemple à la conjecture de Frank, non orienté



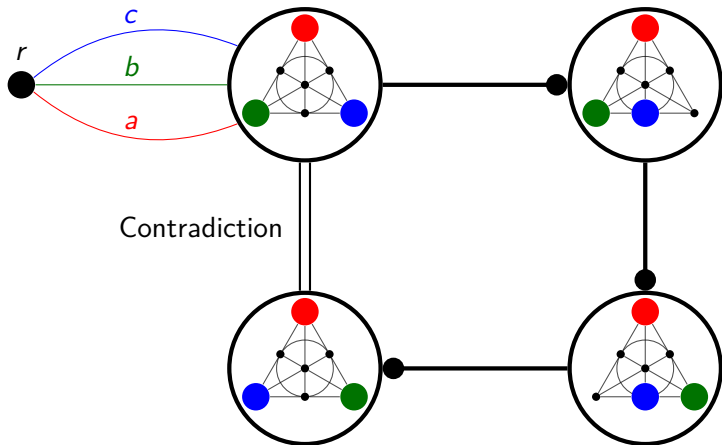
# Contre-exemple à la conjecture de Frank, non orienté



# Contre-exemple à la conjecture de Frank, non orienté



# Contre-exemple à la conjecture de Frank, non orienté



## Contre-exemple à la conjecture de Frank

**Théorème (Fortier, Király, Szigeti, Tanigawa)**

La conjecture de Frank dans le cas non orienté est fausse, même pour les  $\mathcal{M}$ -graphes avec  $r(\mathcal{M}) = 3$ .

# Contre-exemple à la conjecture de Frank

## Théorème (Fortier, Király, Szigeti, Tanigawa)

La conjecture de Frank dans le cas non orienté est fautive, même pour les  $\mathcal{M}$ -graphes avec  $r(\mathcal{M}) = 3$ .

Ce qui implique :

## Théorème (Fortier, Király, Szigeti, Tanigawa)

La conjecture de Frank est fautive, même pour les  $\mathcal{M}$ -graphes orientés acycliques avec  $r(\mathcal{M}) = 3$ .

Les contre-exemples ont  $\approx 350$  sommets et  $\approx 200$  éléments de matroïdes.

En utilisant ces opérations, on peut réduire 3-SAT à notre problème :

**Théorème (Fortier, Király, Szigeti, Tanigawa)**

Le problème consistant à décider si un  $\mathcal{M}$ -graphe orienté contient un  $\mathcal{M}$ -packing d'arborescences couvrantes est **NP-complet**.

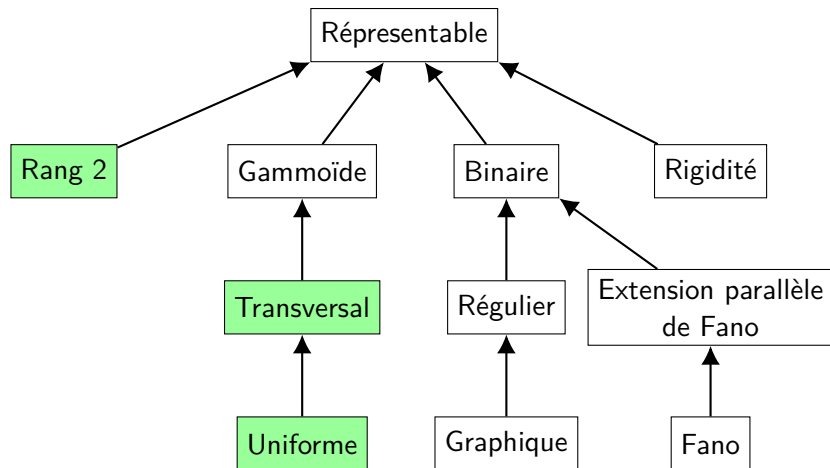
En utilisant ces opérations, on peut réduire 3-SAT à notre problème :

## Théorème (Fortier, Király, Szigeti, Tanigawa)

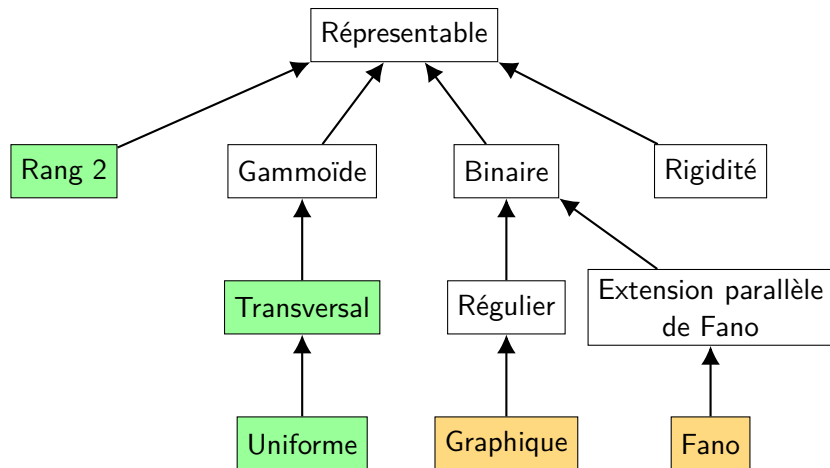
Le problème consistant à décider si un  $\mathcal{M}$ -graphe orienté contient un  $\mathcal{M}$ -packing d'arborescences couvrantes est **NP-complet**.

Par contre, les preuves des résultats « positifs » sur la conjecture de Frank donnent des algorithmes polynomiaux pour déterminer si un  $\mathcal{M}$ -packing d'arborescences couvrantes existe et le trouver.

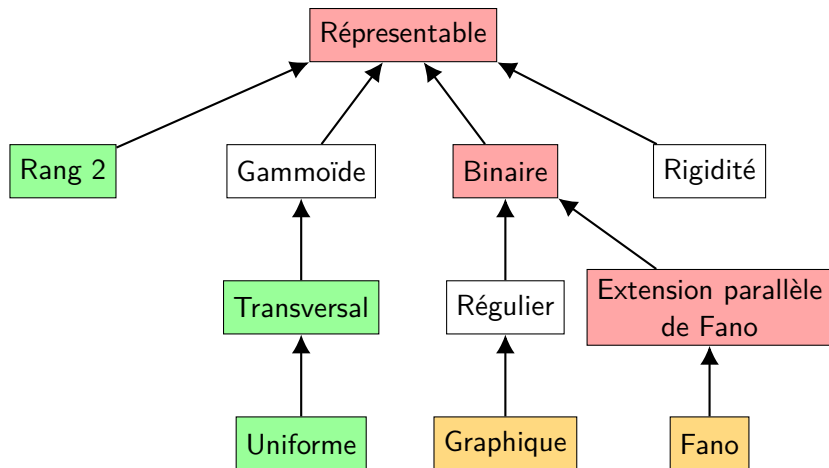
- 1 Algo. **polynomial** pour trouver un  $\mathcal{M}$ -packing d'arborescences couvrantes s'il existe, pour certains matroïdes  $\mathcal{M}$  :



- 2 Algo. **polynomial** pour trouver un  $\mathcal{M}$ -packing d'arborescences couvrantes s'il existe, pour un **graphe acyclique** et certains  $\mathcal{M}$  :



- 3 Déterminer si un  $\mathcal{M}$ -packing d'arborescences couvrantes existe est **NP-complet** pour certains matroïdes (et dans le cas général) :

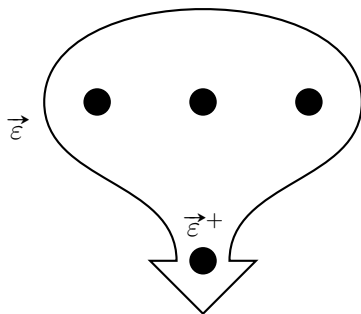




## Définition

Un **hypergraphe orienté** est un couple  $\vec{H} = (V, \vec{\mathcal{E}})$  où :

- 1  $V$  est un ensemble de **sommets**.
- 2  $\vec{\mathcal{E}}$  est un multi-ensemble d'**hyperarcs**, tel que  $\vec{\varepsilon} \in \vec{\mathcal{E}}$  possède :
  - un ensemble de **queues**  $\vec{\varepsilon}^- \subset V$ .
  - une **tête**  $\vec{\varepsilon}^+ \in V - \vec{\varepsilon}^-$ .



## Définition

**Réduire** un hyperarc  $\vec{\varepsilon}$  consiste à le remplacer par un arc  $\vec{e}$  tel que :

- $\vec{e}^+ = \vec{\varepsilon}^+$
- $\vec{e}^- \in \vec{\varepsilon}^-$

## Définition

**Réduire** un hyperarc  $\vec{\varepsilon}$  consiste à le remplacer par un arc  $\vec{e}$  tel que :

- $\vec{e}^+ = \vec{\varepsilon}^+$
- $\vec{e}^- \in \vec{\varepsilon}^-$

## Définition

**Réduire** un hypergraphe orienté consiste à réduire tous ses hyperarcs, pour obtenir un graphe orienté.

## Définition

**Réduire** un hyperarc  $\vec{\varepsilon}$  consiste à le remplacer par un arc  $\vec{e}$  tel que :

- $\vec{e}^+ = \vec{\varepsilon}^+$
- $\vec{e}^- \in \vec{\varepsilon}^-$

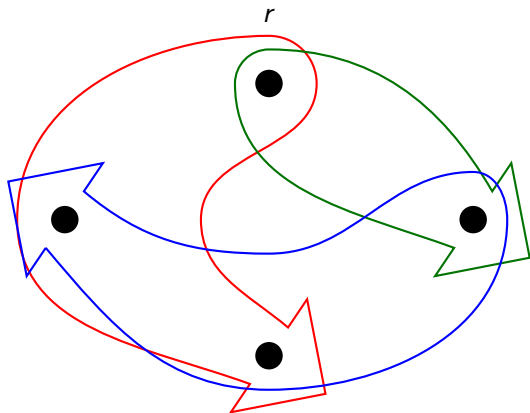
## Définition

**Réduire** un hypergraphe orienté consiste à réduire tous ses hyperarcs, pour obtenir un graphe orienté.

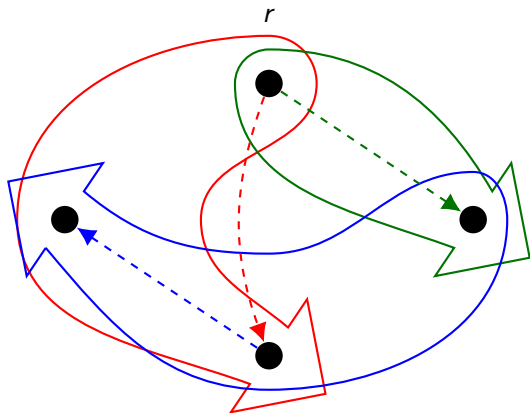
## Définition

Soit  $\vec{H}$  un hypergraphe orienté.

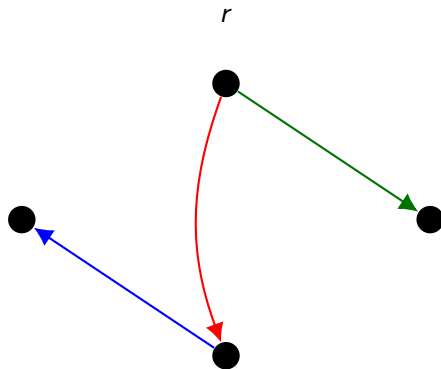
- $\vec{H}$  est un **hyperchemin** s'il peut être réduit en un chemin.
- $\vec{H}$  est une  **$r$ -hyperarborescence** s'il peut être réduit en une  $r$ -arborescence.



$r$ -hyperarborescence.



$r$ -hyperarborescence.



Réduction en  $r$ -arborescence.

## Définition

Un  **$\mathcal{M}$ -hypergraphe** orienté est un hypergraphe orienté avec une racine  $r$  dont les hyperarcs sortant sont en fait des arcs et sont identifiés avec les éléments du matroïde  $\mathcal{M}$ .

## Définition

Un  **$\mathcal{M}$ -hypergraphe** orienté est un hypergraphe orienté avec une racine  $r$  dont les hyperarcs sortant sont en fait des arcs et sont identifiés avec les éléments du matroïde  $\mathcal{M}$ .

Les définitions de  **$\mathcal{M}$ -hyperarc-connexe** et  **$\mathcal{M}$ -packing d'hyperarborescences** sont similaires à celles des graphes.

En généralisant un théorème de Frank :

## Théorème (Fortier, Király, Léonard, Szigeti, Talon)

Soit  $\vec{\mathcal{H}}$  un  $\mathcal{M}$ -hypergraphe orienté  $\mathcal{M}$ -hyperarc-connexe.  
Alors il est possible de réduire  $\vec{\mathcal{H}}$  en un  $\mathcal{M}$ -graphe orienté  $\vec{\mathcal{G}}$   
 $\mathcal{M}$ -arc-connexe. De plus :

$\vec{\mathcal{G}}$  a un  $\mathcal{M}$ -packing de  $k$  arborescences.

$\iff$

$\vec{\mathcal{H}}$  a un  $\mathcal{M}$ -packing de  $k$  hyperarborescences.

En généralisant un théorème de Frank :

## Théorème (Fortier, Király, Léonard, Szigeti, Talon)

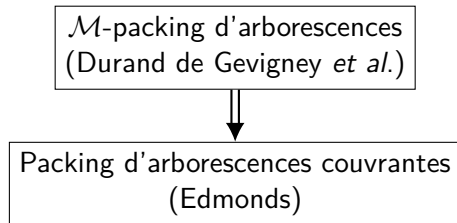
Soit  $\vec{\mathcal{H}}$  un  $\mathcal{M}$ -hypergraphe orienté  $\mathcal{M}$ -hyperarc-connexe.  
Alors il est possible de réduire  $\vec{\mathcal{H}}$  en un  $\mathcal{M}$ -graphe orienté  $\vec{\mathcal{G}}$   
 $\mathcal{M}$ -arc-connexe. De plus :

$\vec{\mathcal{G}}$  a un  $\mathcal{M}$ -packing de  $k$  arborescences.

$\iff$

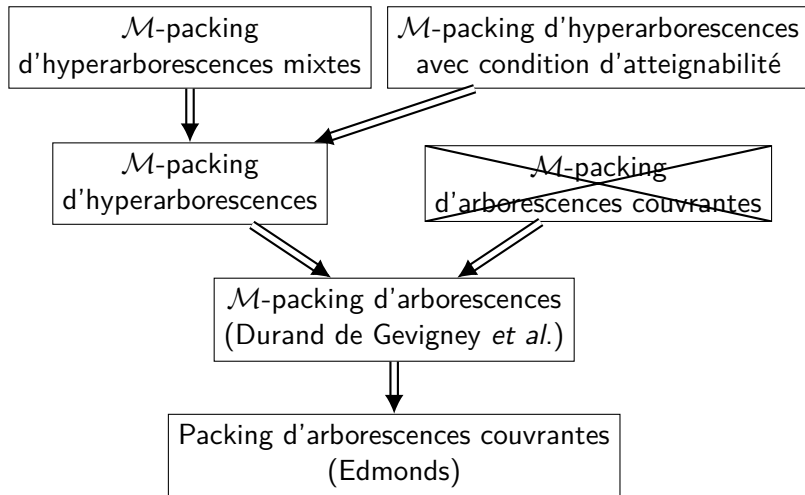
$\vec{\mathcal{H}}$  a un  $\mathcal{M}$ -packing de  $k$  hyperarborescences.

$\implies$  tous les résultats positifs de  $\mathcal{M}$ -packing s'étendent aux hypergraphes.



Avant ma thèse.

# Autres extensions du théorème d'Edmonds



Après ma thèse.

- 1 Prouver ou réfuter la conjecture de Frank pour les classes de matroïdes restantes.
- 2 Trouver une « bonne » définition de connexité **globale** avec condition de matroïde.
- 3 Étudier la **sommet**-connexité avec condition de matroïde.
- 4 Prouver ou réfuter d'autres extensions du théorème d'Edmonds (hypergraphes **mixtes avec condition d'atteignabilité...**).
- 5 Concevoir un algorithme **combinatoire** polynomial pour trouver un  $\mathcal{M}$ -packing de chemins/arborescences.

- 1 Prouver ou réfuter la conjecture de Frank pour les classes de matroïdes restantes.
- 2 Trouver une « bonne » définition de connexité **globale** avec condition de matroïde.
- 3 Étudier la **sommet**-connexité avec condition de matroïde.
- 4 Prouver ou réfuter d'autres extensions du théorème d'Edmonds (hypergraphes **mixtes avec condition d'atteignabilité...**).
- 5 Concevoir un algorithme **combinatoire** polynomial pour trouver un  $\mathcal{M}$ -packing de chemins/arborescences.

Je vous remercie de votre attention.